

## ویژه‌نامه توسعه زنجیره فناوری‌های هیدروژنی

بهره‌برداری از دی‌اکسید کربن و هیدروژن  
تجدیدپذیر: مسیر تولید پایدار متانولپریسا اکبریان<sup>۱</sup>، مریم رنجبر<sup>۱\*</sup>، مهدی خیرمند<sup>۲</sup>، نیلوفر ناصری جهرمی<sup>۱</sup> و آریا عبداللهی<sup>۳</sup>

۱- سازمان پژوهش‌های علمی و صنعتی ایران، تهران، ایران

۲- دانشکده علوم پایه، آزمایشگاه هیدروژن و پیل سوختی، دانشگاه یاسوج، ایران

۳- دانشگاه آزاد واحد علوم و تحقیقات، تهران، ایران

تاریخ دریافت: ۱۴۰۳/۱۲/۱۷ تاریخ پذیرش: ۱۴۰۴/۰۲/۲۰

## چکیده

مصرف دی‌اکسید کربن حاصل از کارخانجات تولید سیمان، و یا دی‌اکسید کربن متصاعد شده از فرآیندهای پتروشیمی باعث بروز مشکلات زیست‌محیطی مانند تغییرات اقلیمی، اثر گلخانه‌ای و وقوع پدیده‌های شدید آب‌وهوایی شده است که خطرات جدی برای زندگی انسان به‌همراه دارند. استفاده از فن‌آوری‌های جذب، خالص‌سازی، ذخیره‌سازی و استفاده از کربن (CCSU) یکی از رویکردهای امیدوارکننده در این زمینه به‌شمار می‌رود. در این کار تحقیقاتی مناسب‌ترین منابع برای بهره‌برداری یکپارچه از گاز دی‌اکسید کربن متصاعد شده و هیدروژن تولید شده با استفاده از الکترولیز آب با برق تجدیدپذیر مانند انرژی خورشیدی معرفی شده است. هیدروژناسیون گاز در اکسید کربن یکی از پیشرفته‌ترین فن‌آوری‌ها برای مصرف دی‌اکسید کربن محسوب می‌شود. ارزیابی پایداری این فرآیند، مستلزم تحلیل جامع منابع اولیه مواد، به‌ویژه  $H_2$  و  $CO_2$  می‌باشد. در این مقاله، یک چارچوب چند معیاره را برای شناسایی مناسب‌ترین منابع  $H_2$  و  $CO_2$  جهت فرآیندهای تبدیل ارائه شده است. منابع مختلف  $CO_2$ ، از نیروگاه‌ها تا تخمیر اتانول، و  $H_2$ ، از تولید اختصاصی تا هیدروژن به‌دست‌آمده به‌عنوان محصول جانبی، براساس معیارهای زیست‌محیطی، اقتصادی و فنی مورد ارزیابی قرار گرفت. سپس با استفاده از کاتالیزور متداول تولید متانول،  $Cu/Zn/Al_2O_3$  متانول سبز تولید شد. از واکنش سه مول گاز هیدروژن و ۱ مول گاز دی‌اکسید کربن در دمای  $250^\circ C$  و فشار ۷۰ بار متانول سبز تولید شد. نتایج نشان داد که  $CO_2$  حاصل از ریفرمینگ بخار متان، صنایع آهن و فولاد، تولید اتیلن اکسید و سایر منابع نقطه‌ای با غلظت بالا از نظر پایداری بهترین گزینه‌ها برای تامین دی‌اکسید کربن مورد نیاز این واکنش می‌باشند. همچنین، مشخص شد که  $H_2$  زمانی پایداری بیشتری دارد که به‌عنوان محصول جانبی فرآیندهای مختلف به‌دست آید یا از طریق الکترولیز آب با برق حاصل از انرژی خورشیدی و یا انرژی بادی به‌طور کم هزینه تولید شود. راندمان تولید متانول در این واکنش ۷۰٪ و تبدیل گاز هیدروژن و دی‌اکسید کربن به متانول ۲۰٪ اندازه‌گیری شد.

**کلمات کلیدی:** کربن کپچرینگ، هیدروژناسیون دی‌اکسید کربن، هیدروژن سبز، متانول سبز، کاتالیست

\*مسئول مکاتبات

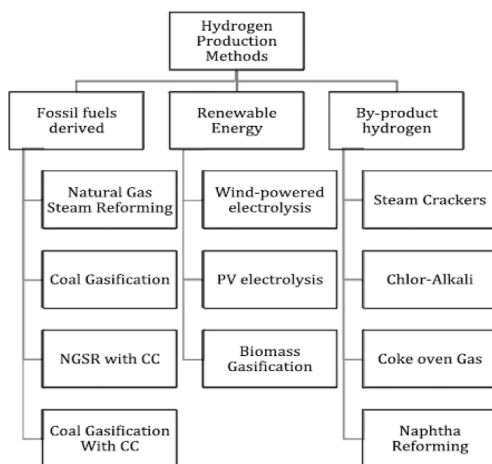
آدرس الکترونیکی marandjbar@irost.ir

شناسه دیجیتال: (DOI: 10.22078/pr.2025.5642.3501)

## مقدمه

از احتراق سوخت‌های فسیلی مانند نیروگاه‌ها و صنایع انرژی‌بر به‌دست می‌آید و  $H_2$  نیز از طریق الکترولیز آب با استفاده از منابع انرژی تجدیدپذیر تولید می‌شود، که در نتیجه آن انتشار مستقیم صفر خواهد بود [۹، ۱۰]. با این حال، این مطالعات معمولاً به منابع  $H_2$  و  $CO_2$  توجهی ندارند و تمرکز خود را فقط بر روی فرآیند تبدیل معطوف می‌کنند. اگرچه این رویکرد به ارزیابی امکان‌پذیری تبدیل کمک می‌کند، اما لازم است عواملی همچون میزان، هزینه، رد پای کربن و قابلیت اطمینان منابع این مواد اولیه نیز در نظر گرفته شود؛ عواملی که بسته به محل تأمین می‌توانند تفاوت‌های زیادی داشته باشند. پتانسیل زیادی برای پردازش کارآمد مقادیر عظیمی از  $CO_2$  مستقیماً از هوا از طریق تبدیل کاتالیستی  $CO_2$  به ترکیبات ارزشمندی مانند متانول ( $CH_3OH$ )، اسید فرمیک ( $HCOOH$ ) و متان ( $CH_4$ ) وجود دارد [۱۱ و ۱۲]. با این حال، تبدیل  $CO_2$  به  $CH_3OH$  با چالش‌های متعددی روبه‌رو است. این فرآیند نیاز به دمایی بین  $230^\circ C$  تا  $300^\circ C$  فشار بسیار بالا در بازه  $50$  تا  $100$  بار، و نسبت مولی سه‌برابری  $H_3$  به  $CO_2$  (نسبت ۳:۱) دارد. در طی این فرآیند، پیوندهای شیمیایی پایدار  $CO$  در  $CO_2$  که دارای انرژی تفکیک حدود  $750 \text{ kJ/mol}$  هستند، فعال شده و شکسته می‌شوند تا تبدیل  $CO_2$  به  $CH_3OH$  آغاز گردد و به‌طور هم‌زمان، مولکول‌های  $H_2$  نیز تفکیک شده و اتم‌های جذب‌شده هیدروژن را تشکیل می‌دهند [۱۳-۱۵]. همچنین، برای رقابت‌پذیری این فرآیند در بازار،  $H_2$  باید با هزینه پایین تولید شود. در حال حاضر، هیدروژن عمدتاً از طریق گازی‌سازی زغال‌سنگ، اکسیداسیون جزئی متان و ریفرمینگ بخار سوخت‌های فسیلی تولید می‌شود که همگی موجب آلودگی و هزینه‌های عملیاتی بالا هستند [۱۶]. ترکیب فرآیند تبدیل  $CO_2$  با تجزیه آب از طریق فتوسنتز در شرایط ملایم، جایگزینی مقرون‌به‌صرفه محسوب می‌شود؛ زیرا  $H_2O$  تأمین‌کننده پروتون‌ها ( $H_2$ ) است که موجب بهبود تبدیل  $CO_2$  به  $CH_3OH$  می‌گردد [۱۷].

با توجه به پتانسیل کاهش انتشار گازهای گلخانه‌ای، استفاده از دی‌اکسید کربن ( $CO_2$ ) به‌عنوان ماده خام برای تولید سوخت و مواد شیمیایی، توجه زیادی از سوی پژوهش‌گران به‌خود جلب کرده است [۱]. هدف از فن‌آوری جذب و استفاده از کربن ( $CCU$ ) تبدیل  $CO_2$  زائد به ورودی‌های کاربردی و مقرون‌به‌صرفه برای فرآیندهای مختلف است؛ این کار یا به‌صورت مستقیم انجام می‌شود یا از طریق تبدیل  $CO_2$  به سایر محصولات. این رویکرد علاوه‌بر ایجاد ارزش افزوده، می‌تواند به تسریع گذار به یک اقتصاد کم‌کربن کمک کند [۲]. به‌عنوان مثال، پروژه‌های بزرگ مقیاس جذب، استفاده و ذخیره‌سازی کربن ( $CCUS$ ) ممکن است از فروش محصولات مشتق‌شده از  $CO_2$  درآمد اضافی کسب کنند [۳]. نیاز روزافزون به کاهش انتشار  $CO_2$  باعث شده است تا دولت‌ها و پژوهش‌گران به دنبال روش‌های مؤثر برای جذب و استفاده از  $CO_2$  باشند. به‌ویژه، چین مسئول  $30\%$  از انتشار گازهای گلخانه‌ای جهان است که در مقایسه با سایر کشورها سهم قابل توجهی محسوب می‌شود [۴]. سنتز فیشر-تروپش (FT) از  $CO_2$  و فرآیندهای هیدروژناسیون از جمله روش‌های اصلی برای تبدیل  $CO_2$  به ترکیبات مفید هستند [۵ و ۶]. این فرآیندها گزینه‌ای سازگار با محیط زیست برای استفاده بلندمدت از فن‌آوری‌های  $CCU$  محسوب می‌شوند، که در آن‌ها  $H_2$  به‌عنوان واکنش‌دهنده به کار می‌رود [۷]. با وجود این پتانسیل، موانع زیادی باید برطرف شوند، از جمله هزینه جمع‌آوری  $CO_2$ ، هزینه‌های تولید هیدروژن، انتشار کربن مرتبط با تولید هیدروژن، و نیاز به توسعه فن‌آوری و مقیاس‌پذیری بیشتر این فرآیندهای تبدیل [۸]. تبدیل  $CO_2$  به محصولات مفید نیازمند صرف انرژی زیاد است و به دلیل پایداری ذاتی  $CO_2$ ، شامل واکنش‌های پیچیده‌ای می‌شود. مطالعات امکان‌سنجی این فرآیندهای تبدیل، اغلب فرض می‌کنند که  $CO_2$



شکل ۱ این شکل منابع مختلف هیدروژن را نمایش می‌دهد [۱۹]

### تولید هیدروژن تجدیدپذیر

اصلاح بخار متان، گازی‌سازی زغال‌سنگ و اکسیداسیون جزئی باقی‌مانده‌های نفت سبک، از اصلی‌ترین روش‌های تولید هیدروژن در صنایع امروزی هستند که منجر به کاهش منابع سوخت‌های فسیلی و افزایش انتشار  $\text{CO}_2$  می‌شوند [۲۰، ۲۱]. برای تولید متانول از هیدروژن و  $\text{CO}_2$  به‌صورت تجدیدپذیر، مقدار  $\text{CO}_2$  مصرف‌شده در این فرآیند باید بیشتر از مقدار  $\text{CO}_2$  تولیدشده در طول فرآیند تولید هیدروژن باشد؛ به این معنا که هیدروژن مورد استفاده باید از مسیرهای تولید سبز تأمین شود. یکی از روش‌های امیدوارکننده، الکترولیز آب با استفاده از منابع انرژی تجدیدپذیر مانند انرژی خورشیدی، بادی و اقیانوسی است [۲۲]. در حال حاضر، الکترولیز آب قلیایی پرکاربردترین فن‌آوری الکترولیز است. این روش شامل دو الکترود است که در محلول الکترولیت قلیایی مایع غوطه‌ور شده‌اند و در آن یون‌های هیدروکسید ( $\text{OH}^-$ ) از کاتد به آنود منتقل می‌شوند و در کاتد هیدروژن تولید می‌شود. اگرچه سامانه‌های قلیایی از قدیمی‌ترین فن‌آوری‌های الکترولیز با کمترین هزینه سرمایه‌گذاری اولیه هستند، اما پایین‌ترین بازده را دارند که منجر به بیشترین هزینه مصرف انرژی الکتریکی می‌شود [۲۳].

مهم‌ترین دست‌آوردهای این تحقیق در این زمینه عبارت‌اند از:

(i) تحلیل طیف گسترده‌ای از منابع احتمالی  $\text{CO}_2$ ، از نیروگاه‌ها تا تخمیر اتانول، و منابع  $\text{H}_2$ ، از واحدهای تولید تخصصی تا هیدروژن تولیدشده به‌عنوان محصول جانبی؛ (ii) ارائه مجموعه‌ای جامع از شاخص‌های پایداری که جنبه‌های قابلیت اطمینان، اقتصادی بودن و مسائل زیست‌محیطی هر منبع را در نظر می‌گیرند؛ (iii) تولید متانول با استفاده از  $\text{H}_2$  و  $\text{CO}_2$  با استفاده از کاتالیست  $\text{Cu/Zn/Al}_2\text{O}_3$  تولیدی شرکت پژوهش و فن‌آوری پتروشیمی

### منابع گاز هیدروژن

اصلاح و تولید هیدروژن از گاز طبیعی از طریق اصلاح بخار (NGSR) رایج‌ترین روش مبتنی بر هیدروکربن است که بعد از آن تولید از منابع نفتی و گازی‌سازی از زغال‌سنگ (CG) قرار دارند. علاوه‌براین، هیدروژن می‌تواند از منابع تجدیدپذیر مانند الکترولیز آب با استفاده از انرژی خورشیدی و بادی و بیومس تولید شود [۱۸]. صنعت جهانی هیدروژن عمدتاً به سوخت‌های فسیلی وابسته است که ۹۶٪ از تولید کل را شامل می‌شود، درحالی‌که الکترولیز آب ۴٪ باقی‌مانده را تأمین می‌کند. در بلندمدت، تولید هیدروژن به مقیاس بزرگ از طریق الکترولیز آب تأمین‌شده توسط انرژی‌های تجدیدپذیر، محیط‌زیست‌پسندترین رویکرد خواهد بود. با این حال، با توجه به رشد و در عین حال محدودیت عرضه انرژی‌های تجدیدپذیر، لازم است گزینه‌های جایگزین مورد بررسی قرار گیرند. این مطالعه منابع هیدروژن را به سه دسته تقسیم کرده است: انرژی تجدیدپذیر، سوخت‌های فسیلی (شامل ذخیره کربن یا CC)، و هیدروژن محصول جانبی کمتر شناخته‌شده. خلاصه‌ای از هر گروه در ادامه آورده شده است (شکل ۱) [۱۹].

شدن دارد. مانند NGSR، فرآیندهای تبدیل بیومس معمولاً سطح بالایی از  $SO_2$  را منتشر می‌کنند (بیش از ۱۰ گرم در کیلوگرم هیدروژن) [۲۶].

#### هیدروژن حاصل از سوخت‌های فسیلی

نفت، زغال‌سنگ و گاز طبیعی تنها برخی از سوخت‌های فسیلی هستند که می‌توانند به هیدروژن تبدیل شوند. در این جا یک خلاصه سریع از روش‌های مختلف آورده شده است: اصلاح بخار گاز طبیعی (NGSR) رایج‌ترین روش تولید هیدروژن است. واکنش‌های دما بالا بین گاز طبیعی و بخار باعث تولید هیدروژن، مونوکسید کربن و مقدار کمی دی‌اکسید کربن می‌شود. با وجود کارایی آن، این روش به دلیل تولید مقدار قابل توجهی  $CO_2$  همچنان باعث انتشار آلودگی‌های زیست‌محیطی می‌شود [۲۶]. گازی‌سازی زغال‌سنگ: این فرآیند از دماهای بالا برای ترکیب زغال‌سنگ با اکسیژن و بخار استفاده می‌کند تا گاز سنتز، که مخلوطی از هیدروژن، مونوکسید کربن و دی‌اکسید کربن است، تولید کند. هیدروژن سپس از گاز سنتز استخراج می‌شود. این روش می‌تواند از منابع زغال‌سنگ فراوان استفاده کند، اگرچه از نظر کارایی کمتر مؤثر و مضرتر از NGSR است [۲۷]. اکسیداسیون جزئی هیدروکربن‌ها: متان و نفت سنگین نمونه‌هایی از هیدروکربن‌ها هستند که در این روش با اکسیژن به اکسیداسیون جزئی می‌پردازند تا مونوکسید کربن و هیدروژن تولید کنند. اگرچه این روش گران‌تر و کمتر مؤثر از NGSR است، اما زمانی که دسترسی به گاز طبیعی آسان نباشد، قابل استفاده است [۲۸]. فن‌آوری جذب و ذخیره‌سازی کربن (CCS): فن‌آوری CCS می‌تواند انتشار  $CO_2$  را جذب و ذخیره کند تا اثرات زیست‌محیطی تولید هیدروژن از سوخت‌های فسیلی کاهش یابد. اگرچه این فن‌آوری هزینه و پیچیدگی فرآیند را افزایش می‌دهد، اما تولید هیدروژن را از نظر زیست‌محیطی بهبود می‌بخشد. این روش‌ها نشان می‌دهند که با وجود اینکه سوخت‌های فسیلی همچنان یک منبع مهم

سایر فن‌آوری‌های سبز الکترولیز آب با استفاده از الکترولیزهای قلیایی، غشای تبادل پروتونی (PEM) و الکترولیزهای اکسید جامد (SOEC)، فن‌آوری‌های نوظهوری هستند [۲۴]. الکترولیزهای PEM کارایی بیشتری دارند و دچار مشکلات خوردگی و آب‌بندی نمی‌شوند، اما نسبت به سامانه‌های قلیایی هزینه بالاتری دارند. فن‌آوری SOEC پتانسیل بالایی برای کاربردهای صنعتی دارد و قادر است هیدروژن را با بازدهی ۱۰۰٪ تولید کند. با این حال، این فن‌آوری با مشکلاتی مانند مهاجرت کروم، خوردگی، آب‌بندی و چرخه‌های حرارتی روبه‌رو است [۲۵]. با این وجود، بهبودهای فناورانه چشمگیری در روش‌های تولید و ذخیره‌سازی موردنیاز است. الکترولیز آب با استفاده از انرژی‌های تجدیدپذیر به افزایش مقیاس تولید هیدروژن کمک خواهد کرد. با این حال، هزینه هیدروژن تولیدشده از الکترولیز هنوز بیشتر از هیدروژن تولیدشده از سوخت‌های فسیلی است که این مسئله عمدتاً به هزینه انرژی برمی‌گردد. با استفاده از نیروگاه‌های فتوولتائیک برای تولید برق موردنیاز جهت شکافت آب، می‌توان الکترولیز آب را بدون انتشار مستقیم کربن انجام داد [۲۲]. یکی دیگر از منابع تجدیدپذیر هیدروژن، بیومس است. مواد آلی یا کربنی با ارزش پایین از طریق گازی‌سازی بیومس به سوخت‌های حمل‌ونقل و برق تبدیل می‌شوند که هیدروکربن‌های سبک، تار، زغال، خاکستر، مونوکسید کربن (CO)، دی‌اکسید کربن ( $CO_2$ )، متان ( $CH_4$ ) و آلودگی‌های جزئی را تولید می‌کند [۲۴]. گاز سنتز، که عمدتاً شامل هیدروژن و مونوکسید کربن است، محصول جانبی اصلی گازی‌سازی بیومس می‌باشد. برای افزایش محتوای هیدروژن گاز سنتز، باید به معماری راکتور، ماده اولیه و شرایط واکنش بهبودهایی اعمال شود. اما در مقایسه با NGSR یا CG، هزینه‌های تبدیل بیومس تقریباً دو برابر بیشتر است. به دلیل هم‌انتشاری دی‌اکسید گوگرد ( $SO_2$ ) و احتمالاً محتوای معدنی یا خاکستر، این فرآیند پتانسیل بالایی برای اسیدی

منیزیم یا هیدروکسید منیزیم در محلول‌های اسید آلی است که نرخ هیدرولیز سریعی را نشان داده و بازده هیدروژن آن به نزدیک ۱۰۰٪ می‌رسد [۳۱]. این تکنیک برای وسایل نقلیه با پیل سوختی روی برد یا ایستگاه‌های سوخت‌گیری، مشکلات تنظیم انتشار  $H_2$  و جلوگیری از فرار گرمایی را حل می‌کند. یافته‌ها و توسعه‌های کلیدی در تحقیق بر روی کمپرسورها برای متمرکز کردن  $H_2$  شامل روش‌ها و چالش‌های نوآورانه مختلف است. شاستر، دومن و همکاران چالش‌های فشرده‌سازی هیدروژن برای حمل‌ونقل در لوله‌ها با استفاده از کمپرسورهای سانتریفیوژ را برجسته کرده و بر نیاز به سرعت‌های چرخشی بالا یا روتورهای چرخان مخالف برای دستیابی به نسبت فشار مطلوب تأکید دارند. آن‌ها همچنین پیشنهاد می‌کنند که مواد پیشرفته برای دستیابی به سرعت‌های محیطی مؤثر ضروری است [۳۲]. مولر، بروکس و همکاران استفاده از حامل‌های هیدروژن و حامل‌های هیدروژن مایع (LPHCs) را به‌عنوان جایگزینی برای فشرده‌سازی فیزیکی مورد بحث قرار می‌دهند که می‌تواند تعداد کمپرسورها در ایستگاه‌های سوخت‌گیری هیدروژن را کاهش دهد. این رویکرد از خواص ترمودینامیکی موادی مانند اسید فرمیک برای ارائه هیدروژن با چگالی بالاتر و فشارهای بالا استفاده می‌کند [۳۳]. هوانگ، جیانگ و همکاران یک روش جداسازی غشایی جدید برای  $H_2/CO_2$  ارائه می‌دهند که غلظت  $H_2$  را در عملیات هیدروژناسیون گازوئیل افزایش می‌دهد در حالی که مصرف انرژی و هزینه‌های سرمایه‌گذاری را کاهش می‌دهد. این روش دستگاه‌های معمولی جذب متناوب فشار را جایگزین کرده و دوام طولانی مدت عملیات را با جلوگیری از انباشت آلودگی‌ها تضمین می‌کند [۳۴]. چالش‌های قابل توجه در کمپرسورها برای تمرکز هیدروژن شامل دستیابی به نسبت‌های فشار بالا در کمپرسورهای یک‌مرحله‌ای، مدیریت سهم افزایش یافته هیدروژن در خطوط لوله گاز طبیعی، و نیاز به مواد پیشرفته برای دستیابی به سرعت‌های محیطی مورد نیاز است [۳۲].

هیدروژن به شمار می‌رود، تلاش‌هایی برای کاهش اثرات زیست‌محیطی آن‌ها از طریق روش‌های پایدار و فن‌آوری‌های پیشرفته در حال انجام است [۲۹].

### هیدروژن به‌عنوان محصول فرعی سایر فرآیندها

هیدروژن یک محصول جانبی از چندین فعالیت صنعتی است. تولید آهن و فولاد (به‌ویژه کک)، اتیلن و اولفین‌ها (از طریق واحدهای کراکر بخار)، صنعت کلر-آلکالی و چندین فرآیند پالایش نفت (مانند واحدهای کراکینگ کاتالیزوری و واحدهای اصلاح کاتالیزوری) از منابع قابل توجه آن هستند. بسته به تأسیسات خاص، این هیدروژن محصول جانبی ممکن است به روش‌های مختلفی مورد استفاده قرار گیرد یا حتی در برخی شرایط به‌عنوان زباله دور ریخته شود [۱۹]. کلر ( $Cl_2$ )، سدیم هیدروکسید ( $NaOH$ ) و تقریباً هیدروژن خالص از طریق واکنش‌های کلر-آلکالی به‌صورت الکتروشیمیایی تولید می‌شوند. بسته به تکنیک و نیازهای پایین‌دست، هیدروژن تولید شده ممکن است به فروش برسد، اگر مورد نیاز نباشد سوخته شود، یا به‌عنوان حرارت فرآیندی استفاده گردد. گاز طبیعی (NG) می‌تواند هیدروژن خالص بیشتری تولید کند زمانی که جایگزین هیدروژن برای حرارت فرآیندی می‌شود. به همین دلیل، هیدروژن، کلر و سدیم هیدروکسید به‌عنوان محصولات جانبی فرآیند C-A در نظر گرفته می‌شوند و انتشارات بین آن‌ها طبق جرم توزیع می‌شود. عوامل تخصیص برای کلر، سدیم هیدروکسید و هیدروژن به ترتیب ۴۶٪، ۵۲٪ و ۱/۳٪ هستند که براساس میزان تولید جرم آن‌ها محاسبه می‌شود [۳۰].

### کمپرسورها برای غلیظسازی هیدروژن

پیشرفت‌های اخیر در کمپرسورها برای متمرکز کردن  $H_2$  بر تکنیک‌ها و توسعه‌های نوآورانه مختلف متمرکز کرده است. یکی از پیشرفت‌های قابل توجه، تولید کنترل‌شده  $H_2$  فشرده از طریق هیدرولیز

استفاده مجدد از کربن (CCU) شناخته می‌شوند زیرا مقادیر زیادی CO<sub>2</sub> را در مقادیر بالایی منتشر می‌کنند. غلظت دی‌اکسید کربن در گاز دودکش هنگام استفاده از سوخت‌هایی مانند زغال‌سنگ، گاز طبیعی یا نفت بین ۳٪ تا ۱۵٪ متغیر است [۳۵]. بنابراین، ضروری است که CO<sub>2</sub> capture و تفکیک شود. برای این منظور، تکنیک‌های فیزیکی و شیمیایی متعددی از جمله جذب، جداسازی با غشا، جذب و فرآیندهای کرایوژنیک قابل استفاده هستند. رایج‌ترین فن‌آوری که به‌طور گسترده‌ای در مقیاس تجاری اثبات شده است، جذب با حلال‌های آمینی است. انرژی مورد نیاز برای تجدید حلال آمینی عامل اصلی تأثیرگذار بر قیمت این سیستم‌ها است که معمولاً ۸۵-۹۰٪ از CO<sub>2</sub> را جذب می‌کنند [۱۹]. میزان ٪ وزنی گازهای خروجی از نیروگاهها با فرض احتراق کامل برابر است با ۷۴٪ نیتروژن، ۱۶/۱٪ اکسیژن، ۴/۵٪ در اکسید کربن، و ۴/۲٪ بخار آب است. این در شرایط نسبت جریان ۸۹ Kg/s و راندمان ۳۵/۹٪ در نیروگاه‌های ۲۵ مگاواتی است. دمای گازهای خروجی ۴۷۲ °C است. در این نیروگاهها برای مثال ۵۲۱۹ Kg/h معادل ۱/۴۵ Kg/s گاز متان مصرف می‌شود.

#### دی‌اکسید کربن از فرآیندهای صنعتی

انتشار CO<sub>2</sub> از فرآیندهای صنعتی به‌طور قابل توجهی کمتر از انتشار آن از احتراق است. با این حال، برخی صنایع جریان‌های CO<sub>2</sub> با غلظت بالا (< ۹۵٪) منتشر می‌کنند که جداکردن آن‌ها را تسهیل کرده و هزینه هر تن CO<sub>2</sub> را کاهش می‌دهد، به‌طوری‌که این منابع برای جذب ایده‌آل هستند. به‌طور کلی، غلظت بالاتر CO<sub>2</sub> در یک جریان گازی منجر به کاهش هزینه‌های بازیابی می‌شود. علاوه‌براین، مزیت مقیاس به این معناست که بازیابی CO<sub>2</sub> زمانی که با منابع بزرگ مواجه هستیم، مقرون به‌صرفه‌تر خواهد بود. برخی از فرآیندهای صنعتی شامل تخمیر اتانول هستند که CO<sub>2</sub> یک محصول جانبی از فرآیند تخمیر تولید اتانول است.

سوالات باز پیرامون پیاده‌سازی اقتصادی این فن‌آوری‌ها و ادغام حامل‌های جایگزین هیدروژن برای کاهش تعداد کمپرسورهای مورد نیاز در ایستگاه‌های سوخت‌گیری هیدروژن می‌چرخند [۳۳]. فرصت‌ها در این حوزه شامل نوآوری مواد، توسعه مواد پیشرفته‌ای که قادر به تحمل سرعت‌ها و فشارهای بالا مورد نیاز کمپرسورهای سانتریفیوژ هستند که برای فشرده‌سازی و حمل‌ونقل کارآمد هیدروژن ضروری است [۳۲]. حامل‌های جایگزین، استفاده از حامل‌های هیدروژن مایع که می‌توانند هیدروژن را در فشارهای بالا آزاد کنند و احتمالاً نیاز به چندین مرحله فشرده‌سازی در ایستگاه‌های سوخت‌گیری هیدروژن را از بین ببرند [۳۳]. فن‌آوری غشا، پیاده‌سازی فن‌آوری‌های غشایی نوین برای تصفیه هیدروژن که می‌تواند عملیات را ساده‌تر کرده، هزینه‌ها را کاهش دهد و عملکرد فرآیندهای تولید هیدروژن را بهبود بخشد [۳۴]. روش‌های هیدرولیز، بررسی هیدرولیز فلزات سبک و هیدریدها به‌عنوان روشی برای تولید و فشرده‌سازی هیدروژن در محل برای خودروهای پیل سوختی که ممکن است نیاز به کمپرسورهای سنتی را از بین ببرد [۳۱] و کمپرسورهای VPSA (فشار خلاء نوسان جذبی)، که در فرآیندهای تصفیه هیدروژن استفاده می‌شوند و هیدروژن را تا حدود ۱۵ Mp برای ذخیره‌سازی یا پردازش بیشتر فشرده می‌کنند [۳۴].

#### منابع دی‌اکسید کربن

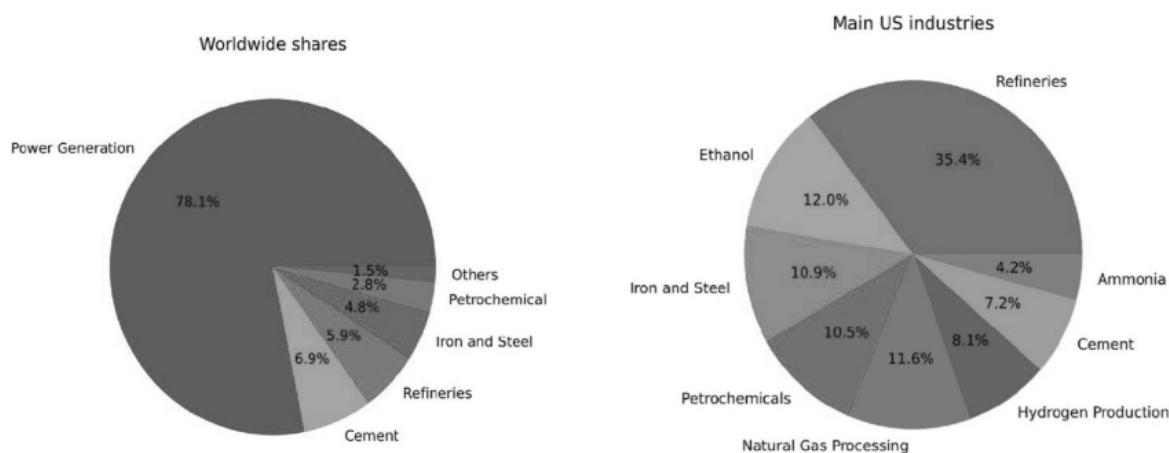
ترکیب، نرخ جریان و فشار جریان منتشر شده همه تأثیر قابل توجهی بر قابلیت استفاده از یک منبع CO<sub>2</sub> برای ذخیره‌سازی و استفاده کربن (CCU) دارند. هزینه هر تن CO<sub>2</sub> جذب‌شده با جداسازی‌های اقتصادی‌تر که به وسیله غلظت‌های بالاتر CO<sub>2</sub> ممکن می‌شود، کاهش می‌یابد [۱۹].

#### دی‌اکسید کربن حاصل از نیروگاهها

یکی از منابع اصلی انتشار CO<sub>2</sub>، نیروگاه‌های سوختی گاز طبیعی و زغال‌سنگ هستند. این تأسیسات به‌عنوان کاندیداهای مناسبی برای ذخیره‌سازی و

داده شده است. سه روش اصلی برای جذب  $\text{CO}_2$  از نیروگاه‌های مبتنی بر سوخت‌های فسیلی—جذب با اکسی‌فویل، پیش‌احتراق و پس‌احتراق—به‌عنوان موفق‌ترین روش‌ها شناخته می‌شوند. فرآیند جذب پس‌احتراق شامل استخراج  $\text{CO}_2$  از جریان گاز دودکش است. نیروگاه‌های موجود می‌توانند این تکنیک را به راحتی وارد کنند. با گازی‌سازی سوخت فسیلی در دماها و فشارهای خاص، روش جذب پیش‌احتراق کربن را قبل از احتراق حذف می‌کند. فشار جزئی بالای  $\text{CO}_2$  در این جریان جداسازی را با حلال‌های مختلف تسهیل می‌کند. جذب با اکسی‌فویل پس از احتراق با اکسیژن خالص گاز دودکش عمدتاً شامل  $\text{CO}_2$  و بخار آب تولید می‌کند. سپس فرآیند میعان ساده‌ای می‌تواند  $\text{CO}_2$  را بازیابی کند [۴۱]. ایجاد مواد جدید که بتوانند  $\text{CO}_2$  را به‌طور مؤثر جذب کرده و در عین حال انرژی مورد نیاز را کاهش دهند، بزرگ‌ترین مانع برای پیاده‌سازی جذب  $\text{CO}_2$  در نیروگاه‌ها است. محققان به‌طور فعال به دنبال موادی با ویژگی‌های فیزیکی و شیمیایی مورد نیاز برای این کار هستند. به‌دلیل سرعت واکنش سریع و هزینه پایین، محلول‌های آمینی استاندارد مانند مونواتانول‌آمین (MEA)، دی‌اتانول‌آمین (DEA) و متیل دی‌اتانول‌آمین (MDEA) به‌طور ویژه برای گازهای اسیدی انتخابی هستند و معمولاً در جذب  $\text{CO}_2$  پس‌احتراق استفاده می‌شوند.

و این  $\text{CO}_2$  می‌تواند به‌طور مؤثری گرفته شده و استفاده شود زیرا نسبتاً خالص است [۳۶]. صنعت آهن و فولاد، فرآیندهای مورد استفاده در تولید آهن و فولاد منجر به انتشار قابل توجهی از  $\text{CO}_2$  می‌شود. تأثیر کربنی این صنعت می‌تواند با گرفتن  $\text{CO}_2$  از منابع مختلف کاهش یابد [۳۷]. تولید سیمان،  $\text{CO}_2$  در مرحله کلسینه شدن تولید سیمان آزاد می‌شود. اگرچه سایر گازها می‌توانند گرفتن این  $\text{CO}_2$  را دشوار کنند، اما همچنان یک منبع امیدوارکننده است [۳۸]. پالایشگاه‌ها، در طی چندین فرآیند، از جمله کراکینگ کاتالیزوری سیال و اصلاح کاتالیزوری، پالایشگاه‌های نفتی دی‌اکسید کربن آزاد می‌کنند. یک تأمین مستمر از  $\text{CO}_2$  برای استفاده می‌تواند از چندین منبع به‌دست آید [۳۹]. تولید شیمیایی،  $\text{CO}_2$  یک محصول جانبی از چندین فرآیند تولید شیمیایی است. امکان گنجانیدن جذب  $\text{CO}_2$  از این تکنیک‌ها در برنامه تولید کلی وجود دارد [۱۹]. پردازش گاز طبیعی، حذف  $\text{CO}_2$  یک گام رایج در پردازش گاز طبیعی است. به‌جای تخلیه این  $\text{CO}_2$ ، ممکن است آن را گیر انداخت و استفاده کرد [۴۰]. گازی‌سازی بیومس، این روش گاز سنتز تولید می‌کند که حاوی  $\text{CO}_2$  از بیومس است. ابتکارات CCU پایدار ممکن است از جذب  $\text{CO}_2$  از گازی‌سازی بیومس بهره‌مند شوند [۱۹]. در شکل ۲ سهم تخمینی انتشار  $\text{CO}_2$  براساس منابع نمایش



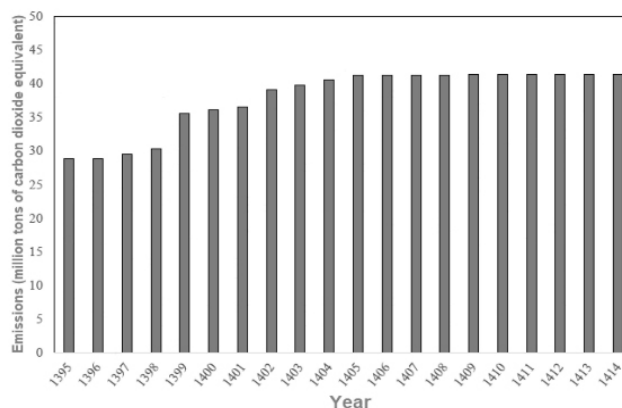
شکل ۲ سهم تخمینی انتشار  $\text{CO}_2$  براساس منابع [۱۹]

سیاست‌ها می‌توانند شامل مجاز ساختن تأمین مالی معاف از مالیات برای تجهیزات سرمایه‌ای مورد استفاده در جمع‌آوری CO<sub>2</sub> یا گنجاندن هزینه‌های جذب CO<sub>2</sub> در صورت حساب‌های برق باشند. اجرای این اقدامات می‌تواند موجب تسریع در اثرات و پیاده‌سازی پروژه‌های کاهش CO<sub>2</sub> شود.

### جذب دی اکسید کربن از صنایع پتروشیمی در ایران

با تبدیل انتشار CO<sub>2</sub> از منابع صنعتی به کالاهای باارزش مانند مواد شیمیایی و سوخت‌ها، کربن کپچرینگ و به‌کارگیری آن، به‌عنوان یک استراتژی بالقوه برای مقابله با تغییرات اقلیمی شناخته می‌شود [۴۳]. در ایران به‌طور میانگین سالانه ۸۲۸ میلیون تن CO<sub>2</sub> منتشر می‌شود که ۱۴۸/۲۵ میلیون تن آن از صنعت نفت و ۳۸ میلیون تن آن از صنعت پتروشیمی است. شکل ۳ میزان انتشار دی اکسید کربن از منابع پتروشیمی را در طول بیست سال تخمین می‌زند. قابلیت‌های عملی مؤثر با شبیه‌سازی و تأیید موفقیت‌آمیز بزرگترین تأسیسات صنعتی حذف CO<sub>2</sub> ایران که از تکنولوژی مبتنی بر موناتانول آمین استفاده می‌کند، در مقایسه با داده‌های عملکرد واقعی از شرکت پتروشیمی کرمانشاه (KPIC) نشان داده شده است. KPIC از کوره اصلاح آمونیاک روزانه ۱۳۲ تن متریک CO<sub>2</sub> (MT-PD) جذب می‌کند. با بهره‌وری جذب ۹۵/۴٪ برای جداسازی و فشرده‌سازی CO<sub>2</sub> به ۴/۳۶۰ کیلوژول بر کیلوگرم CO<sub>2</sub> نیاز است.

با این حال، از آنجایی که برای جدا کردن CO<sub>2</sub> از این مایعات انرژی زیادی لازم است، محققان به دنبال جایگزین‌هایی با ظرفیت گرمایی کمتر هستند. مایعات یونی و حلال‌های مبتنی بر آمونیاک به دلیل پایداری حرارتی خوب و حلالیت بالای CO<sub>2</sub> در حال بررسی هستند. به دلیل ظرفیت جذب عالی و انتخاب‌پذیری، جاذب‌های جامدی مانند زئولیت‌ها، جاذب‌های مبتنی بر کربن، هیدروکسیدهای دوتایی لایه‌ای (LDHs) و چارچوب‌های فلزی-آلی (MOFs) نیز امیدوارکننده هستند. هزینه‌های سنتز آنها هنوز یک مشکل است، اما [۱۹ و ۴۱]. سیستم‌های غشایی در یک تکنیک جدید برای جداسازی CO<sub>2</sub> استفاده می‌شوند. فن‌آوری‌های غشایی فضای کمی نیاز دارند و سادگی و انعطاف‌پذیری را فراهم می‌کنند. علاوه‌براین، آنها به دلیل پتانسیل مصرف انرژی کم برای کاربردهای حذف CO<sub>2</sub> جذاب هستند. علاوه‌بر غشاهای پایه پلیمری، غشاهای ماتریس مخلوط می‌توانند با افزودن جاذب‌های جامد غیرآلی به‌عنوان پرکننده‌های غیرآلی ساخته شوند. هنگامی که این غشاهای ماتریس مخلوط برای جذب CO<sub>2</sub> استفاده می‌شوند، نشان داده شده است که انتخاب‌پذیری و نفوذپذیری را نسبت به پلیمری پایه بهبود می‌بخشد [۴۲]. سودآوری آینده فن‌آوری جمع‌آوری CO<sub>2</sub> به دلیل نیازهای بالای انرژی آن مشکوک است. با این حال، مقررات دولتی ممکن است پیشرفت پروژه جذب CO<sub>2</sub> را تسریع کند.



شکل ۳ برآورد انتشار دی‌اکسید کربن از منابع پتروشیمی در طول بیست سال [۷۰]

آستانه‌های  $H_2S$  در بخش پایین‌دست می‌شود. این تغییرات به افزایش محیط اکسیدکننده در حوضچه واکنش نسبت داده می‌شود. [۵۱]. علاوه‌براین، حضور  $H_2S$  در گاز ورودی می‌تواند کاتالیزوری را که برای فرآیند متاناسیون  $CO_2$  ضروری است غیرفعال کرده و نرخ تبدیل  $CO_2$  را تا ۷٪ کاهش دهد [۵۲]. چندین روش برای حذف  $H_2S$  در واحدهای پتروشیمی ارائه شده است استفاده از روش جذب سطحی، مانند به‌کار بردن کربن فعال یا الک‌های مولکولی برای جذب  $H_2S$  است. همچنین، روش جذب شیمیایی مانند استفاده از حلال‌هایی مانند آمین‌ها یا نمک‌های آهنی برای انجام واکنش شیمیایی و حذف  $H_2S$  از گاز است. روش جداسازی غشایی نیز روشی است که در آن از غشاهایی استفاده می‌شود که به‌طور انتخابی اجازه می‌دهند  $H_2S$  عبور کند و سایر گازها را مسدود می‌کنند. جداسازی کرایوژنیک با سرد کردن مخلوط گاز به دماهای بسیار پایین برای میعان و جداسازی  $H_2S$  انجام می‌شود. در نهایت، درمان بیولوژیکی با استفاده از میکروارگانیسم‌ها در بیوراکتورها برای تبدیل  $H_2S$  به مواد کم‌ضررتر مورد استفاده قرار می‌گیرد [۵۳]. علاوه‌براین، از نظر ذخیره‌سازی، تزریق  $CO_2$  به آبخوان‌های نمکی عمیق نشان داده است که ناخالصی‌هایی مانند متان و  $H_2S$  می‌توانند به‌طور قابل توجهی بر ویژگی‌های فیزیکی مانند چگالی و ویسکوزیته مخزن تأثیر بگذارند که به نوبه خود بر کارایی ذخیره‌سازی  $CO_2$  تأثیر می‌گذارد [۵۴]. گاز  $H_2S$  تأثیر زیادی بر ویسکوزیته ندارد و تأثیر کمی بر کارایی ذخیره‌سازی  $CO_2$  دارد، که نشان می‌دهد حذف گوگرد ممکن است در پروژه‌های جذب و ذخیره‌سازی کربن هنگامی که  $H_2S$  به‌عنوان ناخالصی حضور دارد، ضروری نباشد [۵۴]. علاوه‌براین، حلالیت گوگرد عنصری در فاز گازی با افزایش غلظت  $H_2S$  به‌طور قابل توجهی افزایش می‌یابد که می‌تواند بر فرآیند کلی حل‌شدن شیمیایی تأثیر بگذارد [۵۵]. تکنیک‌های جذب با

پروژه بازیابی  $CO_2$  در KPIC از انتشار بیش از ۴۰/۰۰۰ تن  $CO_2$  در سال جلوگیری کرده و مصرف گاز طبیعی را ۲۱/۱ میلیون مترمکعب در سال کاهش داده است [۴۳]. روش‌های کارآمدی برای تبدیل  $CO_2$  به متانول و دی‌متیل‌اتر (DME) توسعه یافته است که به‌عنوان سوخت‌های باارزش عمل کرده و به‌عنوان مواد اولیه برای هیدروکربن‌های مصنوعی به‌کار می‌روند، بنابراین راهی برای بازیافت  $CO_2$  به منابع کربن تجدیدپذیر ارائه می‌دهند [۴۴]. فتوسنتز مصنوعی توسط استفاده از انرژی خورشیدی برای تبدیل  $CO_2$  به متانول بسیار امید بخش است که هر دو بحران انرژی و گرمایش جهانی را حل می‌کند [۴۵]. اخیراً صنایع شیمیایی، از جمله پتروشیمی، برای کاهش انتشار  $CO_2$  از تکنیک‌هایی مانند شدت بخشیدن به فرآیندهای جداسازی آمینی استفاده شده است که مصرف انرژی و انتشار گازهای گلخانه‌ای را کاهش می‌دهد [۴۶]. علاوه‌براین، انواع مختلفی از جاذب‌ها از جمله محلول‌های آمینی برای کارایی، هزینه و پایداری آنها در جذب  $CO_2$  مورد بررسی قرار گرفته‌اند که مونواتانول‌آمین (MEA) به‌طور معمول استفاده می‌شود به‌دلیل [۴۷، ۴۸]. حلال‌های جایگزین مانند گلیسرول و پلی‌اتیلن گلیکول‌ها نیز برای توانایی جذب  $CO_2$  از گازهای دودکش مورد تحقیق قرار گرفته‌اند که پتانسیل فرآیندهای جذب  $CO_2$  با سمیت کمتر و کارآمدتر را ارائه می‌دهند [۴۹]. استفاده گسترده‌تر از  $CO_2$  به‌عنوان منبع کربن در فرآیندهای شیمیایی، مانند تولید اوره و مواد شیمیایی دیگر، از قرن ۱۹ شناخته شده است و همچنان یک حوزه وسیع و حیاتی از تحقیق و کاربرد را به خود اختصاص داده است [۵۰]. یافته‌های کلیدی اخیر نشان می‌دهد که افزایش غلظت دی‌اکسید کربن ( $CO_2$ ) و کاهش ناخالصی‌هایی مانند هیدروژن سولفید ( $H_2S$ ) می‌تواند کارایی ذخیره‌سازی را بهبود بخشد. حضور  $H_2S$  در جریان‌های  $CO_2$  باعث افزایش مولکول‌های دی‌اکسید گوگرد ( $SO_2$ ) در محصولات جانبی و کاهش مقدار

## کمپرسور برای تغلیظ دی اکسید کربن

پیشرفت‌های اخیر در کمپرسورهای متمرکزکننده CO<sub>2</sub> نشان‌دهنده پیشرفت‌های قابل توجهی در فن‌آوری و کاربرد است. نخستین واحد نمایشی اروپایی در مقیاس مگاوات از CO<sub>2</sub> فوق بحرانی (sCO<sub>2</sub>) که به‌طور خاص برای کاربردهای توان خورشیدی متمرکز (CSP) طراحی شده بود، به‌لطف پروژه SOLARSCO<sub>2</sub>OL که آغاز شد، ساخته شد. برای بررسی اثرات عملیات با بار جزئی در محدوده ۵۰ تا ۱۰۵٪ بار اسمی بر شرایط عملیاتی کمپرسور و توربین، این تحقیق اولین مطالعه خارج از طراحی را برای یک چرخه sCO<sub>2</sub> بازیابی‌شده انجام داد [۵۸]. در توسعه دیگری، تحلیل آئرونامیکی با فیدلیتی بالا بر روی یک کمپرسور sCO<sub>2</sub> طراحی‌شده برای یک نیروگاه CSP ۱۰ مگاواتی انجام شد. با استفاده از نرم‌افزار CRUNCH CFD، این تحلیل بینش‌هایی در مورد تلفات عملکردی در شرایط نزدیک به بحرانی به‌دلیل پدیده‌هایی مانند متراکم شدن در دهانه ورودی فراهم کرد، اثرات سیال واقعی نزدیک به بحرانی را در sCO<sub>2</sub> مدل‌سازی کرد و برآورد پیش از آزمایش را برای راندمان متوسط تأیید کرد. علاوه‌براین، این مطالعه اثرات دینامیکی نامتعادل در کمپرسور را در شرایط خارج از طراحی شناسایی و کمی کرد [۵۹]. علاوه‌براین، پروژه DeSolination یک چرخه توان نوآورانه را برای یک سیستم نمک‌زدایی با استفاده از مخلوط‌های CO<sub>2</sub> فوق بحرانی به‌عنوان سیال کار پیشنهاد می‌کند. این پروژه با هدف توسعه چرخه‌ای کارآمد و دوستدار محیط زیست، با تمرکز بر بهینه‌سازی ادغام چرخه توان در نیروگاه نهم‌زدایی است. انتخاب سیال کار براساس سازگاری مواد، تأثیرات زیست‌محیطی و کارایی چرخه در نظر گرفته شد. این پروژه همچنین به بررسی کاربرد دوپانت‌ها برای تنظیم دمای بحرانی CO<sub>2</sub> پرداخت که امکان استفاده از یک پمپ به‌جای کمپرسور را فراهم می‌کند و این امر تبادل حرارت را در دماهای سازگار با منبع داغ تسهیل می‌کند [۶۰].

استفاده از کربن فعال نیز برای جداسازی H<sub>2</sub>S و CO<sub>2</sub> از مخلوط‌های حاوی متان مورد بررسی قرار گرفته‌اند که بسته به غلظت و دما، کارایی‌های مختلفی را نشان می‌دهند [۵۶]. توسعه‌های اخیر در افزایش غلظت CO<sub>2</sub> و کاهش ناخالصی‌هایی مانند H<sub>2</sub>S در پتروشیمی‌ها شامل تکنیک‌ها و یافته‌های نوآورانه مختلف است [۵۴] کیم و کو تأثیر ناخالصی‌ها بر تزریق CO<sub>2</sub> به آبخوان‌های نمکی عمیق را بررسی کردند و نشان دادند که متان به‌طور قابل توجهی کارایی تزریق و چگالی را کاهش می‌دهد، درحالی‌که H<sub>2</sub>S تأثیر کمی بر این ویژگی‌ها دارد، که نشان می‌دهد ممکن است در پروژه‌های CCS نیازی به حذف گوگرد نباشد. این می‌تواند هزینه‌های عملیاتی در برنامه‌های CCS را در زمانی‌که H<sub>2</sub>S حضور دارد کاهش دهد. Magomnang Varela و همکاران [۵۳] استفاده از میکروارگانیزم‌های مؤثر (EM) برای تصفیه بیوگاز را مورد بررسی قرار دادند و به‌ویژه بر حذف CO<sub>2</sub> و H<sub>2</sub>S متمرکز شدند. مطالعه آنها نشان داد که غلظت‌های بالاتر محلول‌های EM به‌طور قابل توجهی کارایی حذف این گازها را افزایش می‌دهد، که نشان‌دهنده رویکرد امیدوارکننده‌ای برای تصفیه بیوگاز است. Putra Kalsum و همکاران [۵۷] دریافتند که افزایش غلظت مونواتانول‌آمین (MEA) در فرآیند تصفیه بیوگاز به‌طور مؤثری غلظت‌های CO<sub>2</sub> و H<sub>2</sub>S را کاهش داده و غلظت متان بالایی در بیوگاز تصفیه‌شده به‌دست می‌آورد. این نشان می‌دهد که بهینه‌سازی غلظت MEA می‌تواند برای بهبود کارایی تصفیه بیوگاز مهم باشد. برای جلوگیری از رسوب گوگرد در لوله‌ها، Liu، Hao و همکاران [۵۵] بر اهمیت غلظت H<sub>2</sub>S در حل شدن گوگرد عنصری در منابع انرژی با محتوای بالای گوگرد تأکید کردند. این کشف اهمیت زیادی برای برنامه‌ریزی و عملکرد شبکه‌های حمل و نقل گاز در بخش‌هایی که گازهای با محتوای گوگرد بالا را مدیریت می‌کنند دارد.

کمک‌گرمایی جذب: این روش از گرما تولید شده در طول فشرده‌سازی برای کار کردن یک فرآیند جذب خنک‌کننده استفاده می‌کند که یک خونریزی  $\text{CO}_2$  را قبل از مرحله نهایی فشرده‌سازی خنک می‌کند. بازدهی این کمپرسورها به مقدار گرما مفید تولید شده و کارایی فرآیند جذب خنک‌کننده بستگی دارد [۶۵]. ج) کمپرسورهای مبتنی بر غشا: این کمپرسورها از غشاهای پلیمری یا حامل حلال انتخابی  $\text{CO}_2$  استفاده می‌کنند. آنها به‌طور اصلی کار فشرده‌سازی را برای غلبه بر افت فشار در واحد غشایی نیاز دارند، که منجر به مصرف انرژی نسبتاً پایین می‌شود [۶۶]. د) کمپرسورهای اسکرو: این کمپرسورها در سیستم‌های خنک‌کننده با  $\text{CO}_2$  به‌عنوان مبرد استفاده می‌شوند. عملکرد آنها با استفاده از مدل‌های نظری هندسی ارزیابی می‌شود تا کارایی را ارتقا دهند، با تمرکز بر عوامل مانند پیش‌فشرده‌سازی مکش و عدم تقارن تخلیه [۶۷]. ه) جذب و جداسازی نوسانی خلاء دما (TVSA): این روش  $\text{CO}_2$  را از اتمسفر با استفاده از یک چرخه فشرده‌گی، جذب، تخلیه و جداسازی متمرکز می‌کند. این روش می‌تواند غلظت‌های بالای  $\text{CO}_2$  را با مصرف انرژی نسبتاً پایین به دست آورد [۶۸]. و) کمپرسورهای موج شوک: این فن‌آوری نوظهور مزایایی از جمله هزینه‌های سرمایه‌گذاری کمتر، تأثیرات زیست‌محیطی کمتر و تأثیر کمتری بر گیاهان انگلی را ادعا می‌کند. آنها برای بازیابی کارآمد گرما تلف‌شده طراحی شده‌اند [۶۹]. ز) کمپرسورهای چرخه فشرده‌سازی مجدد: این کمپرسورها در چرخه‌های توان  $\text{CO}_2$  فوق بحرانی استفاده می‌شوند و بخشی از یک چرخه فشرده‌سازی مجدد هستند که شامل یک گرم‌کن اولیه، گرم‌کن مجدد و توربین‌ها می‌باشد. آنها برای کارایی و عملکرد بهینه تحت شرایط مختلف تنظیم شده‌اند. [۷۰]. در شکل ۳ برآورد انتشار دی‌اکسید کربن از منابع پتروشیمی در طول بیست سال نشان داده شده است.

استفاده از  $\text{CO}_2$  متمرکز برای تولید مواد ارزشمندی مانند اوره و اتانول، یک استراتژی مؤثر برای کاهش تأثیرات زیست‌محیطی آن و بهینه‌سازی استفاده از آن است. کارایی کمپرسورهای  $\text{CO}_2$  به‌طور قابل توجهی تحت تأثیر شرایط ورودی، به‌ویژه دما و فشار قرار دارد. با افزایش دما در ورودی، نسبت فشار و توان کمپرسور کاهش می‌یابد، به‌طوری‌که افزایش  $2^\circ\text{C}$  در دما منجر به کاهش ۷ تا ۲۴٪ در نسبت فشار و کاهش ۱ تا ۹٪ در توان می‌شود. فشارهای ورودی بالاتر منجر به افزایش توان کمپرسور و کارایی آدیاباتیک حداکثر می‌شود، زیرا شرایط ورودی از نقطه بحرانی  $\text{CO}_2$  دور می‌شود و این امر احتمال متراکم شدن در گذرگاه پره را کاهش می‌دهد [۶۱]. طراحی و عملکرد کمپرسورهای  $\text{CO}_2$  به‌دلیل ویژگی‌های ترمودینامیکی  $\text{CO}_2$  که از قانون گاز ایده‌آل انحراف دارند، پیچیده‌تر می‌شود. تغییرات فشار ورودی بر عدد ماخ جریان و عملکرد تأثیر می‌گذارد که ناشی از تغییرات در سرعت صوت است [۶۲]. عملکرد مناسب و کنترل کمپرسورهای  $\text{CO}_2$  برای کاربرد آنها در چرخه‌های توان برتون بازبازی حلقه بسته بسیار مهم است، با چالش‌هایی که از نیاز به ابزار دقیق و کنترل منابع حرارتی ناشی می‌شود [۶۳]. حضور ناخالصی‌ها در جریان‌های  $\text{CO}_2$  می‌تواند به‌طور قابل توجهی بر نیازهای توان فشرده‌گی تأثیر بگذارد، به‌طوری‌که ناخالصی‌ها توان فشرده‌گی را بین ۷ تا ۱۹٪ افزایش می‌دهند و تقاضای توان بین‌سرماکن تا ۳۲٪ را افزایش می‌دهند [۶۴]. علاوه‌براین، می‌توان از انواع مختلف کمپرسورها براساس نیازها و شرایط خاص برای متمرکز کردن  $\text{CO}_2$  استفاده کرد، که در زیر به آن اشاره شده است: الف) کمپرسورهای چندمرحله‌ای با گیربکس یکپارچه: این کمپرسورها در کاربردهای  $\text{CO}_2$  با فشار بالا استفاده می‌شوند. آنها از بین‌سرما بین مراحل استفاده می‌کنند و معمولاً نسبت فشار حدود دو دارند. این کمپرسورها کارآمد هستند، اما گرما مفیدی تولید نمی‌کنند که معمولاً دور ریخته می‌شود. ب) کمپرسورهای

## روش‌های تعیین مقدار هیدروژن

ارزیابی آزاد شدن محتوای هیدروژن از ترکیبات جامد از روش‌های تجربی مختلفی استفاده می‌کند، از جمله آنالیز دفع حرارتی، کروماتوگرافی گازی، اندازه‌گیری جذب ایزوترمال، مطالعات سینتیکی و کالریمتری اسکن دیفرانسیل. هر روش اطلاعاتی ارزشمند در مورد سینتیک، ترمودینامیک و رفتار کلی هیدروژن در این مواد ارائه می‌دهد که به توسعه سیستم‌های ذخیره‌سازی هیدروژن کارآمد کمک می‌کند. در زمینه ایمنی و تشخیص هیدروژن، پیشرفت‌ها شامل ادغام آشکارسازهای آلودگی هیدروژن (HCD) در ایستگاه‌های سوخت‌رسانی برای اطمینان از مطابقت با الزامات خلوص است. این آشکارسازها در پس‌زمینه ۱۰۰٪  $H_2$  کار می‌کنند و می‌توانند چندین آلودگی در سطوح پایین را تشخیص دهند. علاوه بر این، بر توسعه روش‌های تشخیص قوی که بتوانند به انواع آلودگی‌ها و شرایط محیطی پاسخ دهند، تأکید شده است. برای این منظور، حسگرهای دما و رطوبت به سیستم‌های تشخیصی ادغام می‌شوند تا دقت و صحت آشکارسازها افزایش یابد [۷۱]. در تحقیق ما، کروماتوگرافی گازی برای نظارت بر آزاد شدن هیدروژن استفاده شد. دستگاه GC با ستون Propak Q پک شده تجهیز شده بود. برای این آنالیز، دستگاهی طراحی شد که شامل یک محفظه کوچک برای قرار دادن ماده حامل هیدروژن جامد بود. خروجی به سمت ورودی کروماتوگرافی گازی هدایت می‌شد و کل محفظه در کوره‌ای با دمای قابل کنترل با حداکثر دمای  $600^\circ C$  قرار داشت. گاز آزاد شده در دماهای بالا توسط GC برای هیدروژن و دی‌اکسید کربن آنالیز شد. هیدروژن تولید شده توسط ژنراتور هیدروژن با گاز  $N_2$  خالص با استفاده از کنترل‌کننده جریان گرمی ترکیب شد تا مخلوط‌های استاندارد هیدروژن با غلظت‌های مختلف تهیه شود. همچنین، این روش برای تهیه استانداردهای با محتوای  $CO_2$  مختلف استفاده شد. منحنی‌های کالیبراسیون برای هیدروژن و دی‌اکسید کربن با استفاده از مخلوط‌های

استاندارد تهیه شده انجام شد. درصد هیدروژن و دی‌اکسید کربن در گاز آزاد شده با استفاده از این منحنی‌های کالیبراسیون آنالیز شد.

## مکانیزم سنتز متانول سبز

پیشرفت قابل توجهی در مطالعه کاتالیزورهای هیدروژن‌دار برای سنتز متانول از  $H_2$  و  $CO_2$ ، به‌ویژه سیستم  $Cu/ZnO/Al_2O_3$  که ظهور کرد، صورت گرفته است. این کاتالیزور همچنان نقطه تمرکز است و برتری کاتالیزورهای ناهمگن بر کاتالیزورهای همگن را به دلیل دوام بالا، سهولت استفاده و انعطاف‌پذیری که برای تولید در مقیاس بزرگ با قیمت کاهش یافته مفید است، نشان می‌دهد. در طول سال‌ها، کار زیادی برای ایجاد کاتالیزورهای ناهمگن پایدار و فعال برای هیدروژناسیون  $CO_2$  به متانول انجام شده است [۴۱]. مکانیسم هیدروژناسیون  $CO_2$  موضوع تحقیقات زیادی بوده است، به دلیل توجه و علاقه روزافزون به روش‌های سنتز متانول. بررسی سینتیک و ترمودینامیک سیستم کاتالیزوری برای درک کامل عملکرد کاتالیزوری فرآیند متانول ضروری است. اگرچه اطلاعاتی در این زمینه وجود دارد، اما مهم است که به یاد داشته باشیم که بیشتر تحقیقات مکانیستی در مورد سنتز متانول از  $CO_2$  و  $H_2$  با سیستم‌های مبتنی بر مس انجام شده است. از آنجایی که هیدروژناسیون  $CO_2$  به متانول کمتر از کاتالیزورهای دو فلزی دیگر شناخته شده است، مکانیسم‌های حاصل از این کاتالیزورهای مبتنی بر مس اغلب برای توضیح مسیرهای واکنش و میانی‌های مختلف سیستم‌های دو فلزی استفاده می‌شود [۷۲]. دو فرآیند رقابتی حیاتی در هیدروژناسیون مستقیم  $CO_2$  به متانول درگیر هستند. ایجاد متانول از  $CO_2$  و هیدروژن واکنش اصلی است:  $CO_2 + 3H_2 \rightarrow CH_3OH + H_2O$  با تغییر آنتالپی استاندارد  $\Delta H_{298}^\circ = -49.5 \text{ kJ/mol}$  و واکنش تغییر گاز آب معکوس (RWGS)، که منجر به تولید کربن مونوکسید می‌شود، واکنش ثانویه است:

هیدروژن استفاده شد. ژنراتور هیدروژن مدل SPH-300 با ظرفیت تولید ۲۰۰ میلی لیتر در دقیقه، فشار خروجی بین ۴ تا ۶ بار، خلوص هیدروژن برابر ۹۹/۹۹٪، منبع تغذیه ۲۲۰±۱۵٪ ولت، ۵۰-۶۰ هرتز مورد استفاده قرار گرفت. برای تامین گاز دی اکسید کربن از یک سیلندر گاز دی اکسید کربن با خلوص ۹۹/۹۹۹٪ (گرید ۴/۵ یا ۵)، با حجم ۵ لیتر، فشار شارژ تا ۷۰ بار، جنس سیلندره‌های آلومینیومی استفاده شد. کاتالیست شکل دهی شده  $\text{Cu/Zn/Al}_2\text{O}_3$  محصول شرکت پژوهش و فن‌آوری پتروشیمی استفاده شد. از راکتور تحت فشار شرکت بوشی آلمان با حجم ۷۵۰ میلی لیتر استفاده شد. کاتالیست درون توری استیل که برای اینکار تعبیه شده است درون راکتور قرار گرفت. از کروماتوگرافی گازی ساخته شده توسط شرکت طیف گستر برای شناسایی گازهای خروجی استفاده شد.

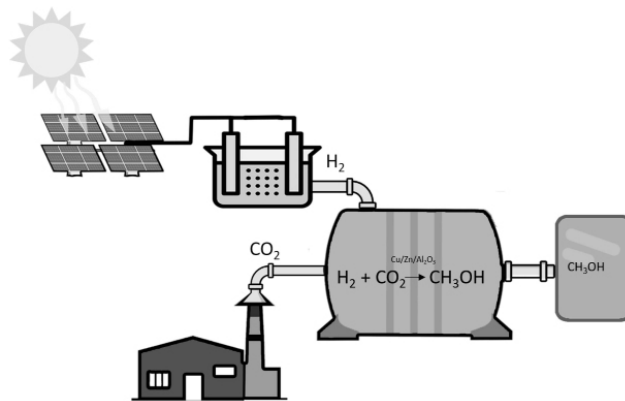
#### تهیه متانول سبز

از واکنش  $0.009 \text{ mole}$  یا  $9 \text{ mmole/min}$  گاز هیدروژن (با دبی  $200 \text{ mL/min}$ ) و  $0.003 \text{ mole}$  یا  $3 \text{ mmole}$  گاز دی اکسید کربن ( $67 \text{ mL/min}$ ) در راکتور تحت فشار ۵۰ بار در دمای  $250^\circ \text{C}$ ، پس از ۳۰ min کتانول شروع به تشکیل شد.  $13 \text{ mL/min}$  متانول به دست آمد. کاتالیست قبل از استفاده نیز توسط هیدروژن احیا شد. گازهای خروجی با کروماتوگرافی گازی شناسایی شد. گازهای خروجی عمدتاً متانول بود و مقدار گازه منو اکسید کربن و متان بسیار کم و قابل صرف‌نظر کردن اندازه‌گیری شد. براساس تصویر نشان داده شده در شکل ۴ فرآیند تولید سوخت سبز (مانند متانول یا هیدروژن) با استفاده از انرژی خورشیدی را نشان می‌دهد. سپس گاز هیدروژن و دی اکسید کربن وارد راکتور می‌شوند و در دمای بین  $200^\circ$  تا  $300^\circ$  و فشار بین ۳۰ تا ۵۰ اتمسفر، تحت تأثیر کاتالیست‌هایی مانند  $\text{Cu/ZnO}$  ( $\text{Al}_2\text{O}_3$ )، واکنش داده و سوخت سبز (مانند متانول) تولید می‌کنند.

$\text{CO}_2 + \text{H}_2 \rightarrow \text{CO} + \text{H}_2\text{O}$  با تغییر آنتالپی استاندارد معادل  $\Delta H_{298}^\circ K = 41/2 \text{ kJ/mol}$  فرآیند RWGS می‌تواند برای تولید متانول از CO به صورت غیرمستقیم استفاده شود:  $\text{CO} + 2\text{H}_2 \rightarrow \text{CH}_3\text{OH}$  با تغییر آنتالپی استاندارد  $\Delta H_{298}^\circ K = -90/6 \text{ kJ/mol}$ . اصل لوشاتلیه بیان می‌کند که کاهش دما و افزایش فشار باعث می‌شود که واکنش از تولید CO از واکنش RWGS به تولید متانول منتقل شود. علاوه بر این، با در نظر گرفتن تعادل هر دو فرآیند، نسبت مولی  $\text{H}_2/\text{CO}_2$  بالا از نظر ترمودینامیکی و سینتیکی برای تولید متانول سودمند است. سنتز متانول از گاز سنتز همراه با  $\text{CO}_2$  به فشار بسیار بالا نیاز دارد، براساس تحقیقات اولیه. با این حال، با کشف کاتالیزورهای فعال مبتنی بر Cu-Zn، فشار مورد نیاز به ۵ تا ۱۰ مگاپاسکال کاهش یافته است، که منجر به انتخاب پذیری متانول ۵۰٪ شده است که رضایت‌بخش است و نسبت به کاتالیزورهای قبلی بهبود یافته است. شرایط فشار بالا هنوز برای هیدروژناسیون  $\text{CO}_2$  به متانول سودمند هستند، علیرغم این پیشرفت‌ها، زیرا تولید متانول را افزایش می‌دهند، تضمین می‌کنند که هیدروژن به صورت ایمن اداره شود، حجم راکتور و مساحت کارخانه را به حداقل می‌رسانند و در نتیجه هزینه‌های سرمایه‌ای را صرفه‌جویی می‌کنند. یک مطالعه در حال انجام است که بر سنتز متانول در فشار بالا با استفاده از کاتالیزورهای مبتنی بر مس تمرکز دارد [۴۱]. تاکتیک‌های زیادی برای حل مشکلات مرتبط با انتشار  $\text{CO}_2$  پیشنهاد شده است. یک استراتژی امیدبخش برای دستیابی به خنثی‌سازی کربن و رشد پایدار، سنتز متانول سبز است که شامل ایجاد هیدروژن تجدیدپذیر و جذب یا بازیافت  $\text{CO}_2$  می‌شود. جمع‌آوری و استفاده از کربن، تولید هیدروژن سبز، و سنتز متانول از هیدروژناسیون  $\text{CO}_2$  با استفاده از مواد دو فلزی پیشرفته در سال‌های اخیر مورد توجه زیادی قرار گرفته است.

#### مواد و روش‌ها

در این کار تحقیقاتی از ژنراتور هیدروژن برای تولید



شکل ۴ فرآیند تولید سوخت سبز (مانند متانول یا هیدروژن) با استفاده از انرژی خورشیدی

جدول ۱ محاسبه مقادیر تعادلی واکنش گاز هیدروژن و دی اکسید کربن

گونه	مقدار اولیه (mol)	تغییر (mol)	مقدار تعادلی (mol)
CO <sub>2</sub>	a	x-	a - x
H <sub>2</sub>	b	-3x	b - 3x
CH <sub>3</sub> OH	0	x+	x
H <sub>2</sub> O	0	x+	x

رابطه ثابت تعادل براساس فشار جزئی گازها به صورت زیر است:

$$K_p = \frac{(P_{CH_3OH})(P_{H_2O})}{(P_{CO_2})(P_{H_2})^3} \quad (۴)$$

برای محاسبه فشار جزئی هر گونه، از رابطه زیر استفاده می‌شود:

$$P_i = n_i \times P_{total} / n_{total} \quad (۵)$$

که در آن  $n_i$  تعداد مول‌های گونه  $i$  و  $n_{total}$  مجموع مول‌های تعادلی است. با جایگزینی مقادیر در معادله تعادل و حل آن نسبت به  $x$  می‌توان ترکیب تعادلی مخلوط را در این شرایط به دست آورد. برای تعیین مقادیر واقعی  $K_p$  و داده‌های ترمودینامیکی  $\Delta H^\circ$  و  $\Delta S^\circ$  نیاز به مراجعه به جداول استاندارد ترمودینامیکی است. از نظر آزمایشگاهی، برای اندازه‌گیری محصولات این واکنش در شرایط ذکر شده، بهترین روش استفاده از دستگاه کروماتوگرافی گازی (GC) است. برای این منظور واکنش در یک راکتور کاتالیستی (مانند راکتور لوله‌ای با بستر کاتالیست انجام شده و نمونه‌گیری از جریان خروجی گاز در زمان‌های مشخص صورت می‌گیرد.

در نهایت محصول تولیدشده در مخازن مخصوص ذخیره می‌شود. هدف این فرآیند، تولید سوخت‌های پاک و تجدیدپذیر با استفاده از انرژی خورشیدی، کاهش انتشار دی‌اکسید کربن و ذخیره‌سازی انرژی در قالب سوخت‌های پایدار و قابل حمل است. برای محاسبه ترکیب تعادلی واکنش بین هیدروژن و دی‌اکسید کربن تحت شرایط دمایی  $250^\circ C$  و فشار  $50$  اتمسفر و حضور کاتالیست، ابتدا واکنش ۱ در نظر گرفته می‌شود.



برای تعیین ترکیب تعادلی، ابتدا لازم است مقدار ثابت تعادل  $K_p$  در دمایی  $250^\circ C$  (معادل  $523$  کلوین) محاسبه شود. این کار با استفاده از داده‌های ترمودینامیکی واکنش انجام می‌شود. ابتدا باید انرژی آزاد گیبس استاندارد را در این دما محاسبه کنیم که طبق رابطه زیر به دست می‌آید:

$$\Delta G^\circ = \Delta H^\circ - T\Delta S \quad (۲)$$

سپس با داشتن  $\Delta G^\circ$ ، مقدار ثابت تعادل از رابطه زیر محاسبه می‌شود:

$$K_p = e^{-\Delta G^\circ / (RT)} \quad (۳)$$

که در آن  $R$  برابر  $8/314$  ژول بر مول کلوین و  $T$  برابر  $523$  کلوین است.

محاسبه مقادیر تعادلی، در جدول ۱ نشان داده شده است. فرض بر این است که واکنش با  $a$  مول دی‌اکسید کربن و  $b$  مول هیدروژن آغاز می‌شود. مقدار تغییر واکنش  $x$  در نظر گرفته می‌شود.

منجر به تبدیل ناقص CO<sub>2</sub> می‌شود، است [۷۳،۷۴]. روش دوم استفاده از کاتالیست‌های دمای پایین مانند In<sub>2</sub>O<sub>3</sub>/ZrO<sub>2</sub> یا In<sub>2</sub>O<sub>3</sub>/CeO<sub>2</sub> است که می‌توانند در دمای پایین‌تر (۱۵۰-۲۵۰ °C) و فشارهای متوسط (۲۰-۵۰ اتمسفر) عمل کنند. این سیستم‌ها با افزایش جذب و فعال‌سازی CO<sub>2</sub>، بازدهی متانول را بهبود می‌بخشند. از مزایای این روش می‌توان به دمای پایین‌تر که باعث کاهش هزینه‌های انرژی می‌شود، تبدیل بالاتر CO<sub>2</sub> در هر چرخه تحت شرایط ملایم، و پایداری بهبود یافته کاتالیست و مقاومت در برابر مهار آب اشاره کرد. معایب این روش شامل تحقیق و توسعه بودن آن و کاربرد صنعتی محدود، پیچیدگی و هزینه بالای سنتز کاتالیست، چالش‌های پایداری بلندمدت و مقیاس‌پذیری است [۷۵،۷۶]. در جدول ۲ مقایسه شرایط واکنش تولید متانول از واکنش گازهای هیدروژن و دی اکسید کربن نشان داده شده است. در تحقیق صورت گرفته در این کار تحقیقاتی، از کاتالیست تجاری Cu/ZnO/Al<sub>2</sub>O<sub>3</sub> تولیدی شرکت پژوهش و فن‌آوری پتروشیمی استفاده شده و نتیجه با انتخاب‌پذیری ۲۰٪ و راندمان کلی ۷۰٪، واکنش تولید متانول با موفقیت انجام گرفت. در تحقیق صورت گرفته در این کار تحقیقاتی، از کاتالیست تجاری Cu/ZnO/Al<sub>2</sub>O<sub>3</sub> تولیدی شرکت پژوهش و فن‌آوری پتروشیمی استفاده شده و نتیجه با انتخاب‌پذیری ۲۰٪ و راندمان کلی ۷۰٪، واکنش تولید متانول با موفقیت انجام گرفت.

سپس نمونه وارد دستگاه GC مجهز به دتکتور مناسب FID یا TCD شد و براساس مقایسه با استانداردهای غلظت شناخته‌شده برای متانول، آب، دی‌اکسیدکربن و هیدروژن، درصد محصولات به‌طور دقیق اندازه‌گیری شد. در صورت نیاز، برای تأیید محصولات مایع (مانند متانول) از آنالیزهای تکمیلی مانند طیف‌سنجی مادون قرمز (FTIR) استفاده شد. محصولات قابل تولید از واکنش H<sub>2</sub> و CO<sub>2</sub> در دمای ۲۵۰ و فشار ۵۰ اتمسفر با کاتالیست Cu/ZnO/Al<sub>2</sub>O<sub>3</sub> در شرایط معمول، محصولات اصلی واکنش عبارت‌اند از متانول، آب، منو اکسید کربن و مقادیر ناچیزی متان خواهد بود. دو روش اصلی برای تولید متانول از واکنش هیدروژن (H<sub>2</sub>) و دی‌اکسیدکربن (CO<sub>2</sub>) تحت کاتالیست در منابع مطرح شده است. روش اول هیدروژناسیون کاتالیستی تحت فشار بالا است که شامل هیدروژناسیون کاتالیستی CO<sub>2</sub> در دمای بالا (۲۰۰-۳۰۰) و فشار بالا (۵۰-۱۰۰ اتمسفر) با استفاده از کاتالیست Cu/ZnO/Al<sub>2</sub>O<sub>3</sub> است. واکنش به‌صورت زیر انجام می‌شود: CO<sub>2</sub> + 3H<sub>2</sub> → CH<sub>3</sub>OH + H<sub>2</sub>O. از مزایای این روش می‌توان به انتخاب‌پذیری بالای متانول تحت شرایط بهینه، فن‌آوری صنعتی بالغ و سیستم کاتالیستی با پایداری نسبی و رفتار شناخته‌شده اشاره کرد. معایب این روش شامل مصرف بالای انرژی به‌دلیل دمای بالا و فشار زیاد، غیر فعال شدن کاتالیست در طول زمان به‌دلیل سینترینگ و تشکیل آب، و محدودیت‌های ترمودینامیکی که

جدول ۲ مقایسه شرایط واکنش تولید متانول از واکنش گازهای هیدروژن و دی اکسید کربن

ویژگی	In <sub>2</sub> O <sub>3</sub> براساس کاتالیست دمای پایین	Cu/ZnO/Al <sub>2</sub> O <sub>3</sub> تحت فشار بالا
دما (°C)	۲۵۰-۱۵۰	۳۰۰-۲۰۰
فشار (اتمسفر)	۵۰-۲۰	۱۰۰-۵۰
متوسط تا بالا	متوسط تا بالا	پایین
پایین	پایین	بالا
بالاتر (تحت شرایط ملایم)	بالاتر (تحت شرایط ملایم)	متوسط
پایین	پایین	بالا
پایین	پایین	بالا

## نتیجه گیری

نیازهای انرژی، نیاز به تحقیقات و توسعه بیشتر وجود دارد. تبدیل  $\text{CO}_2$  به متانول برای انتقال به آینده‌ای پایدارتر در زمینه‌گذار انرژی، ضروری است. متانول یک محصول استراتژیک است که میبایست مورد توجه بیشتری قرار گیرد زیرا به‌عنوان یک حامل مایع هیدروژن و ذخیره‌سازی انرژی نتش مهمی را در آینده‌ای بدون کربن ایفا خواهد کرد.

## تشکر و قدردانی

نویسندگان این مقاله از سازمان پژوهش‌های علمی و صنعتی ایران برای حمایت از این تحقیق برای استفاده از گرنت پژوهشی قرار داد شماره ۰۳۴۵۹۸ و همچنین از حمایت بنیاد علم برای استفاده از گرنت شماره ۴۰۳۰۴۷۰ تشکر و قدردانی می‌نمایند.

فرآیند هیدروژناسیون  $\text{CO}_2$  برای تولید متانول یک مسیر امیدوارکننده به‌سمت تولید سوخت‌های پایدار و کربن-بی‌اثر ارائه می‌دهد. با استفاده از  $\text{CO}_2$  جمع‌آوری شده و هیدروژن تجدیدپذیر، این روش نه تنها به کاهش گازهای گلخانه‌ای کمک می‌کند، بلکه با تبدیل جمع‌آوری، خالص‌سازی و تغلیظ گاز  $\text{CO}_2$  متصاعد شده از فرآیندهای متفاوت صنعتی، یک ماده اولیه شیمیایی ارزشمند با ارزش افزوده نیز ایجاد می‌کند. پیشرفت‌ها در توسعه کاتالیست‌ها، به‌ویژه با استفاده از سیستم‌های مبتنی بر Cu و دو فلزی، به‌طور قابل توجهی کارایی و امکان‌پذیری این فن‌آوری را بهبود بخشیده است. برای حل موانع باقی‌مانده، مانند بهبود شرایط واکنش و کاهش

## مراجع

- [1]. Alper, E., & Orhan, O. Y. (2017).  $\text{CO}_2$  utilization: Developments in conversion processes. *Petroleum*, 3(1), 109-126. doi.org/10.1016/j.petlm.2016.11.003.
- [2]. Greig, C., & Uden, S. (2021). The value of CCUS in transitions to net-zero emissions. *The Electricity Journal*, 34(7), 107004. doi.org/10.1016/j.tej.2021.107004.
- [3]. Niu, J., Liu, H., Jin, Y., Fan, B., Qi, W., & Ran, J. (2022). Comprehensive review of Cu-based  $\text{CO}_2$  hydrogenation to  $\text{CH}_3\text{OH}$ : Insights from experimental work and theoretical analysis. *International Journal of Hydrogen Energy*, 47(15), 9183-9200. doi.org/10.1016/j.ijhydene.2022.01.021.
- [4]. Ye, R. P., Ding, J., Gong, W., Argyle, M. D., Zhong, Q., Wang, Y., Russell, C.K., Xu, Z., Russell, A.G., Li, Q. & Yao, Y. G. (2019).  $\text{CO}_2$  hydrogenation to high-value products via heterogeneous catalysis. *Nature Communications*, 10(1), 5698. doi.org/10.1038/s41467-019-13638-9.
- [5]. Saeidi, S., Najari, S., Fazlollahi, F., Nikoo, M. K., Sefidkon, F., Klemeš, J. J., & Baxter, L. L. (2017). Mechanisms and kinetics of  $\text{CO}_2$  hydrogenation to value-added products: A detailed review on current status and future trends. *Renewable and Sustainable Energy Reviews*, 80, 1292-1311. doi.org/10.1016/j.rser.2017.05.204.
- [6]. Wang, H., Liu, Y., Laaksonen, A., Krook-Riekkola, A., Yang, Z., Lu, X., & Ji, X. (2020). Carbon recycling—An immense resource and key to a smart climate engineering: A survey of technologies, cost and impurity impact. *Renewable and Sustainable Energy Reviews*, 131, 110010. doi.org/10.1016/j.rser.2020.110010.
- [7]. Saravanan, A., Vo, D. V. N., Jeevanantham, S., Bhuvaneshwari, V., Narayanan, V. A., Yaashikaa, P. R., Swetha, S. & Reshma, B. (2021). A comprehensive review on different approaches for  $\text{CO}_2$  utilization and conversion pathways. *Chemical Engineering Science*, 236, 116515. https://doi.org/10.1016/j.ces.2021.116515.
- [8]. Atsonios, K., Panopoulos, K. D., & Kakaras, E. (2016). Investigation of technical and economic aspects for methanol production through  $\text{CO}_2$  hydrogenation. *International Journal of Hydrogen Energy*, 41(4), 2202-2214. doi.org/10.1016/j.ijhydene.2015.12.074.
- [9]. Acar, C., & Dincer, I. (2019). Review and evaluation of hydrogen production options for better environment. *Journal of Cleaner Production*, 218, 835-849. doi.org/10.1016/j.jclepro.2019.02.046.
- [10]. Meunier, N., Chauvy, R., Mouhoubi, S., Thomas, D., & De Weireld, G. (2020). Alternative production of methanol from industrial  $\text{CO}_2$ . *Renewable energy*, 146, 1192-1203. doi.org/10.1016/j.renene.2019.07.010.
- [11]. Moret, S., Dyson, P. J., & Laurency, G. (2014). Direct synthesis of formic acid from carbon dioxide by hydrogenation in acidic media. *Nature Communications*, 5(1), 4017. doi.org/10.1038/ncomms5017.
- [12]. Okoye-Chine, C. G., Otun, K., Shiba, N., Rashama, C., Ugwu, S. N., Onyeaka, H., & Okeke, C. T. (2022). Conversion of carbon dioxide into fuels—A review. *Journal of  $\text{CO}_2$  Utilization*, 62, 102099. doi.org/10.1016/j.jcou.2022.102099.

- [13]. Al-Rowaili, F. N., Zahid, U., Onaizi, S., Khaled, M., Jamal, A., & AL-Mutairi, E. M. (2021). A review for Metal-Organic Frameworks (MOFs) utilization in capture and conversion of carbon dioxide into valuable products. *Journal of CO<sub>2</sub> Utilization*, 53, 101715. doi.org/10.1016/j.jcou.2021.101715.
- [14]. Xie, S., Wang, Y., Zhang, Q., Deng, W., & Wang, Y. (2014). MgO-and Pt-promoted TiO<sub>2</sub> as an efficient photocatalyst for the preferential reduction of carbon dioxide in the presence of water. *Acs Catalysis*, 4(10), 3644-3653. doi.org/10.1021/cs500648p.
- [15]. Tsiotsias, A. I., Charisiou, N. D., AlKhoori, A., Gaber, S., Sebastian, V., Hinder, S. J., Baker, M.A., Polychronopoulou, K. & Goula, M. A. (2022). Towards maximizing conversion of ethane and carbon dioxide into synthesis gas using highly stable Ni-perovskite catalysts. *Journal of CO<sub>2</sub> utilization*, 61, 102046. https://doi.org/10.1016/j.jcou.2022.102046.
- [16]. Fu, Z., Yang, Q., Liu, Z., Chen, F., Yao, F., Xie, T., Zhong, Y., Wang, D., Li, J., Li, X. & Zeng, G. (2019). Photocatalytic conversion of carbon dioxide: From products to design the catalysts. *Journal of CO<sub>2</sub> Utilization*, 34, 63-73. doi.org/10.1016/j.jcou.2019.05.032.
- [17]. Qyyum, M. A., Dickson, R., Shah, S. F. A., Niaz, H., Khan, A., Liu, J. J., & Lee, M. (2021). Availability, versatility, and viability of feedstocks for hydrogen production: Product space perspective. *Renewable and Sustainable Energy Reviews*, 145, 110843. doi.org/10.1016/j.rser.2021.110843.
- [18]. Lopes, J. V. M., Bresciani, A. E., Carvalho, K. D. M., Kulay, L. A., & Alves, R. M. D. B. (2021). Multi-criteria decision approach to select carbon dioxide and hydrogen sources as potential raw materials for the production of chemicals. *Renewable and Sustainable Energy Reviews*, 151, 111542. doi.org/10.1016/j.rser.2021.111542.
- [19]. Lopes, J. V. M., Bresciani, A. E., Carvalho, K. D. M., Kulay, L. A., & Alves, R. M. D. B. (2021). Multi-criteria decision approach to select carbon dioxide and hydrogen sources as potential raw materials for the production of chemicals. *Renewable and Sustainable Energy Reviews*, 151, 111542. doi.org/10.1016/j.rser.2021.111542.
- [20]. Zare, A., Khanipour, M., Sarverštani, H. K., Kakavandi, I. A., Shokroo, E. J., Farniaei, M., & Baghbani, M. (2019). Hydrogen and carbon dioxide recovery from the petrochemical flare gas to methanol production using adsorption and absorption combined high-efficient method. *Applied Petrochemical Research*, 9, 127-145. doi.org/10.1007/s13203-019-0232-2.
- [21]. Zakkour, P., & Cook, G. (2010). CCS Roadmap for Industry: High-purity CO<sub>2</sub> sources. Carbon Counts Company Ltd: UK.
- [22]. Li, M. M. J., & Tsang, S. C. E. (2018). Bimetallic catalysts for green methanol production via CO<sub>2</sub> and renewable hydrogen: a mini-review and prospects. *Catalysis Science & Technology*, 8(14), 3450-3464. doi.org/10.1039/C8CY00304A.
- [23]. Kalamaras, C. M., & Efsthathiou, A. M. (2013). Hydrogen production technologies: current state and future developments. In *Conference papers in science*, 2013, 1: (690627). Hindawi Publishing Corporation. doi.org/10.1155/2013/690627.
- [24]. Ranjbar M. Green hydrogen production from renewable methanol. 12th Fuel Cell Conference Iran; 2023.
- [25]. Lu, C., Bai, H., Wu, B., Su, F., & Hwang, J. F. (2008). Comparative study of CO<sub>2</sub> capture by carbon nanotubes, activated carbons, and zeolites. *Energy & Fuels*, 22(5), 3050-3056. https://doi.org/10.1021/ef8000086.
- [26]. Zeng, K., & Zhang, D. (2010). Recent progress in alkaline water electrolysis for hydrogen production and applications. *Progress in Energy and Combustion Science*, 36(3), 307-326. doi.org/10.1016/j.peccs.2009.11.002.
- [27]. Holladay, J. D., Hu, J., King, D. L., & Wang, Y. (2009). An overview of hydrogen production technologies. *Catalysis Today*, 139(4), 244-260. https://doi.org/10.1016/j.cattod.2008.08.039.
- [28]. Holladay, J. D., Hu, J., King, D. L., & Wang, Y. (2009). An overview of hydrogen production technologies. *Catalysis Today*, 139(4), 244-260. doi.org/10.1016/j.cattod.2008.08.039.
- [29]. Álvarez, A., Bansode, A., Urakawa, A., Bavykina, A. V., Wezendonk, T. A., Makkee, M., Gascon, J. & Kapteijn, F. (2017). Challenges in the greener production of formates/formic acid, methanol, and DME by heterogeneously catalyzed CO<sub>2</sub> hydrogenation processes. *Chemical Reviews*, 117(14): 9804-9838. doi.org/10.1021/acs.chemrev.6b00816.
- [30]. Midilli, A., Kucuk, H., Topal, M. E., Akbulut, U., & Dincer, I. (2021). A comprehensive review on hydrogen production from coal gasification: Challenges and Opportunities. *International Journal of Hydrogen Energy*, 46(50), 25385-25412. doi.org/10.1016/j.ijhydene.2021.05.088.
- [31]. Barona, M., & Snurr, R. Q. (2020). Exploring the tunability of trimetallic MOF nodes for partial oxidation of methane to methanol. *ACS Applied Materials & Interfaces*, 12(25): 28217-28231. doi.org/10.1021/acsaami.0c06241.
- [32]. Shaw, R., & Mukherjee, S. (2022). The development of carbon capture and storage (CCS) in India: A critical review. *Carbon Capture Science & Technology*, 2, 100036. https://doi.org/10.1016/j.ccsst.2022.100036.
- [33]. Elgowainy, A., Frank, E. D., Vyawahare, P., Ng, C., Bafana, A., Burnham, A., Sun, P., Cai, H., Lee, U., Reddi, K. & Wang, M. (2022). Hydrogen life-cycle analysis in support of clean hydrogen production (No. ANL/ESIA-22/2). Argonne National Lab.(ANL), Argonne, IL (United States).
- [34]. Lototskiy, M. V., Davids, M. W., Sekgobela, T. K., Arbuzov, A. A., Mozzhukhin, S. A., Zhu, Y., Tang, R. &

- Tara sov, B. P. (2023). Tailoring of hydrogen generation by hydrolysis of magnesium hydride in organic acids solutions and development of generator of the pressurised H<sub>2</sub> based on this process. *Inorganics*, 11(8), 319. doi.org/10.3390/inorganics11080319.
- [35]. Schuster, S., Dohmen, H. J., & Brillert, D. (2020). Challenges of compressing hydrogen for pipeline transportation with centrifugal compressors. *Proceedings of Global Power and Propulsion Society, GPPS Chania20*, Sept, 7-9. dx.doi.org/10.33737/gpps20-tc-45
- [36]. Müller, K., Brooks, K., & Autrey, T. (2018). Releasing hydrogen at high pressures from liquid carriers: aspects for the H<sub>2</sub> delivery to fueling stations. *Energy & Fuels*, 32(9), 10008-10015. doi.org/10.1021/acs.energyfuels.8b01724.
- [37]. Huang, W., Jiang, X., He, G., Ruan, X., Chen, B., Nizamani, A. K., Li, X., Wu, X. & Xiao, W. (2020). A novel process of H<sub>2</sub>/CO<sub>2</sub> membrane separation of shifted syngas coupled with gasoil hydrogenation. *Processes*, 8(5), 590. https://doi.org/10.3390/pr8050590.
- [38]. Reiter, G., & Lindorfer, J. (2015). Evaluating CO<sub>2</sub> sources for power-to-gas applications—A case study for Austria. *Journal of CO<sub>2</sub> Utilization*, 10, 40-49. doi.org/10.1016/j.jcou.2015.03.003.
- [39]. de Assis Filho, R. B., Danielski, L., de Carvalho, F. R., & Stragevitch, L. (2013). Recovery of carbon dioxide from sugarcane fermentation broth in the ethanol industry. *Food and Bioproducts Processing*, 91(3), 287-291. doi.org/10.1016/j.fbp.2012.09.009.
- [40]. Gielen, D. (2003). CO<sub>2</sub> removal in the iron and steel industry. *Energy Conversion and Management*, 44(7), 1027-1037. doi.org/10.1016/S0196-8904(02)00111-5.
- [41]. Patil, T., Naji, A., Mondal, U., Pandey, I., Unnarkat, A., & Dharaskar, S. (2024). Sustainable methanol production from carbon dioxide: advances, challenges, and future prospects. *Environmental Science and Pollution Research*, 31(32), 44608-44648. doi.org/10.1007/s11356-024-34139-3.
- [42]. Khalilpour, R., Mumford, K., Zhai, H., Abbas, A., Stevens, G., & Rubin, E. S. (2015). Membrane-based carbon capture from flue gas: a review. *Journal of Cleaner Production*, 103, 286-300. doi.org/10.1016/j.jclepro.2014.10.050.
- [43]. Shirmohammadi, R., Aslani, A., Ghasempour, R., & Romeo, L. M. (2020). CO<sub>2</sub> utilization via integration of an industrial post-combustion capture process with a urea plant: Process modelling and sensitivity analysis. *Processes*, 8(9), 1144. doi.org/10.3390/pr8091144.
- [44]. Olah, G. A., Goepfert, A., & Prakash, G. S. (2009). Chemical recycling of carbon dioxide to methanol and dimethyl ether: from greenhouse gas to renewable, Environmentally Carbon Neutral Fuels and Synthetic Hydrocarbons. *The Journal of organic chemistry*, 74(2), 487-498. doi.org/10.1021/jo801260f.
- [45]. Ganesh, I. (2011). Conversion of carbon dioxide to methanol using solar energy-a brief review. *Materials Sciences and Applications*, 2(10), 1407-1415.
- [46]. Jantes-Jaramillo, D., Segovia-Hernández, J. G., & Hernandez, S. (2008). Reduction of energy consumption and greenhouse gas emissions in a plant for the separation of amines. *Chemical Engineering & Technology: Industrial Chemistry-Plant Equipment-Process Engineering-Biotechnology*, 31(10), 1462-1469. doi.org/10.1002/ceat.200800100.
- [47]. Greer, T., Bedelbayev, A., Igreja, J. M., Gomes, J. F., & Lie, B. (2010). A simulation study on the abatement of CO<sub>2</sub> emissions by de-absorption with monoethanolamine. *Environmental Technology*, 31(1), 107-115. doi.org/10.1080/09593330903373764.
- [48]. Hasan, S., Abbas, A. J., & Nasr, G. G. (2020). Improving the carbon capture efficiency for gas power plants through amine-based absorbents. *Sustainability*, 13(1), 72. doi.org/10.3390/su13010072.
- [49]. Aschenbrenner, O., & Styring, P. (2010). Comparative study of solvent properties for carbon dioxide absorption. *Energy & Environmental Science*, 3(8), 1106-1113. doi.org/10.1039/C002915G.
- [50]. Aresta, M. (2006). Carbon dioxide reduction and uses as a chemical feedstock. *Activation of small molecules: Organometallic and Bioinorganic Perspectives*, 1-41. 10.1002/3527609350.
- [51]. Selim, H., Gupta, A., & Al Shoaibi, A. (2012). Effect of carbon dioxide and nitrogen addition on hydrogen sulfide combustion. In *50th AIAA Aerospace Sciences Meeting including the New Horizons Forum and Aerospace Exposition* (p. 1000). https://doi.org/10.2514/6.2012-1000.
- [52]. Lee, Y. H., & Kim, S. S. (2020). A Study on the Reaction Characteristics of Carbon Dioxide Methanation Catalyst for Full-Scale Process Application. *Applied Chemistry for Engineering*, 31(3), 323-327. doi.org/10.14478/ace.2020.1036.
- [53]. Magomnang, A. A. S. M., Varela, R. J., Asañero, D. M. M., Gemina, M. L. M. P., Albina, D. O., Pacana, C. D. C., Pallo, V.A., Perez, J.H. & Cubio, G. M. (2024). Enhancing Biogas Purification Efficiency Through Microbial Intervention: A Comparative Analysis of Carbon Dioxide and Hydrogen Sulfide Removal in Anaerobic Digestion Systems. In *2024 International Conference on Sustainable Energy: Energy Transition and Net-Zero Climate Future (ICUE)* (pp. 1-8). IEEE. 10.1109/ICUE63019.2024.10795527.

- [54]. Ko, S., Kim, S. M., & Jang, H. (2023). A Simulation Study on Evaluating the Influence of Impurities on Hydrogen Production in Geological Carbon Dioxide Storage. *Sustainability*, 15(18), 13620. doi.org/10.3390/su151813620
- [55]. Liu, G., Hao, M., Fan, S., & Li, C. (2023). A study on elemental sulfur equilibrium content in mixtures of methane, carbon dioxide, and hydrogen sulfide under conditions of natural gas pipeline transmission. *Energies*, 16(5), 2466. doi.org/10.3390/en16052466
- [56]. De Oliveira, L. H., Meneguim, J. G., Pereira, M. V., Do Nascimento, J. F., & Arroyo, P. A. (2019). Adsorption of hydrogen sulfide, carbon dioxide, methane, and their mixtures on activated carbon. *Chemical Engineering Communications*, 206(11), 1533-1553. doi.org/10.1080/00986445.2019.1601627
- [57]. Putra, A. A., Kalsum, L., & Hasan, A. (2023). CO<sub>2</sub> and H<sub>2</sub>S Absorption in Tofu Liquid Waste Biogas using Packed Bed Scrubber with Variation of MEA Concentration and Flow Rate. *International Journal of Research in Vocational Studies (IJRVOCAS)*, 3(2), 23-28. doi.org/10.53893/ijrvocas.v3i2.204
- [58]. Gini, L., Maccarini, S., Traverso, A., Pesatori, E., Milani, A., Bisio, V., Valente, R., Barberis, S. & Guede, R. (2022, June). Part-Load Behaviour and Control Philosophy of a Recuperated Supercritical CO<sub>2</sub> Cycle. In *Turbo Expo: Power for Land, Sea, and Air (Vol. 86083, p. V009T28A019)*. American Society of Mechanical Engineers. doi.org/10.1115/GT2022-83021.
- [59]. Hosangadi, A., Weathers, T., Liu, J., Pelton, R., Wygant, K., & Wilkes, J. (2022). Numerical predictions of mean performance and dynamic behavior of a 10 MWe SCO<sub>2</sub> compressor with test data validation. *Journal of Engineering for Gas Turbines and Power*, 144(12), 121019. doi.org/10.1115/1.4055532.
- [60]. Terracciano, O. A., Francesco, F. D., Brizzi, R., Annese, F., Doninelli, M., Putelli, L., & Gelfi, M. (2023, October). An advanced desalination system with an innovative CO<sub>2</sub> power cycle integrated with renewable energy sources. In *Abu Dhabi International Petroleum Exhibition and Conference (p. D011S017R002)*. SPE. doi.org/10.2118/215993-MS.
- [61]. Jiang, P., Wang, B., Tian, Y., Xu, X., & Zhao, L. (2021). Design of a supercritical CO<sub>2</sub> compressor for use in a 1 MWe power cycle. *ACS Omega*, 6(49), 33769-33778. doi.org/10.1021/acsomega.1c05023.
- [62]. Kang, J., Vorobiev, A., Cameron, J. D., Morris, S. C., Turner, M. G., Sedlacko, K., Miller, J.D. & Held, T. J. (2025). Experimental study of the real gas effects of CO<sub>2</sub> on the aerodynamic performance characteristics of a 1.5-stage axial compressor. *Journal of Engineering for Gas Turbines and Power*, 147(8). doi.org/10.1115/1.4067267
- [63]. Neveu, J. D., Cich, S. D., Moore, J. J., & Mortzheim, J. (2021, June). Operation and Control of a Supercritical CO<sub>2</sub> Compressor. In *Turbo Expo: Power for Land, Sea, and Air (Vol. 85048, p. V010T30A017)*. American Society of Mechanical Engineers. doi.org/10.1115/GT2021-59359.
- [64]. Daud, N. K., Martynov, S., Mahgerefteh, H., & Nasuha, N. (2019, November). Compression power requirements for Oxy-fuel CO<sub>2</sub> streams in CCS. In *IOP Conference Series: Materials Science and Engineering (Vol. 702, No. 1, p. 012059)*. IOP Publishing. 10.1088/1757-899X/702/1/012059.
- [65]. Jackson, S., & Brodal, E. (2018, July). A comparison of the energy consumption for CO<sub>2</sub> compression process alternatives. In *IOP Conference Series: Earth and Environmental Science (Vol. 167, p. 012031)*. IOP Publishing. 10.1088/1755-1315/167/1/012031.
- [66]. Herraiz, L., Palfi, E., Sánchez Fernández, E., & Lucquiaud, M. (2020). Rotary Adsorption: Selective recycling of CO<sub>2</sub> in combined cycle gas turbine power plants. *Frontiers in Energy Research*, 8, 482708. doi.org/10.3389/fenrg.2020.482708.
- [67]. Song, P., Wu, D., Lu, Z., Zheng, S., Wei, M., Zhuge, W., & Zhang, Y. (2023). An Improved Geometric Theoretical Model and Throughflow Prediction Method for a CO<sub>2</sub> Scroll Compressor of Automotive Air Conditioning System. *International Journal of Energy Research*, 2023(1), 9382690. doi.org/10.1155/2023/9382690.
- [68]. Wilson, S. M., & Tezel, F. H. (2020). Direct dry air capture of CO<sub>2</sub> using VTSA with faujasite zeolites. *Industrial & Engineering Chemistry Research*, 59(18), 8783-8794. doi.org/10.1021/acs.iecr.9b04803.
- [69]. Jackson, S., & Brodal, E. (2018, July). A comparison of the energy consumption for CO<sub>2</sub> compression process alternatives. In *IOP Conference Series: Earth and Environmental Science (Vol. 167, p. 012031)*. IOP Publishing. 10.1088/1755-1315/167/1/012031.
- [70]. Yu, A., Su, W., Zhao, L., Lin, X., & Zhou, N. (2020). New knowledge on the performance of supercritical Brayton cycle with CO<sub>2</sub>-based mixtures. *Energies*, 13(7), 1741. doi.org/10.3390/en13071741.
- [71]. Peaslee, D., Buttner, W., Stewart, J., Palin, I., Gifford, J., Shah, M., ... & Hartmann, K. (2024, August). Hydrogen Detection Strategies to Support H<sub>2</sub>@ Scale--the NREL Sensor Laboratory. In *Electrochemical Society Meeting Abstracts 245 (No. 51, pp. 2754-2754)*. The Electrochemical Society, Inc. 10.1149/MA2024-01512754mt-gabs.
- [72]. Wambach, J., Baiker, A., & Wokaun, A. (1999). CO<sub>2</sub> hydrogenation over metal/zirconia catalysts. *Physical Chemistry Chemical Physics*, 1(22), 5071-5080. doi.org/10.1039/A904923A.
- [73]. Olah GA, Goepfert A, Prakash GKS. Beyond oil and gas: The methanol economy. 2nd ed. Weinheim:

Wiley-VCH; 2009.

[74]. Mondal, U., & Yadav, G. D. (2021). Methanol economy and net zero emissions: critical analysis of catalytic processes, reactors and technologies. *Green Chemistry*, 23(21), 8361-8405. doi.org/10.1039/D1GC02078A.

[75]. Martín, O., Martín, A. J., Mondelli, C., Mitchell, S., Segawa, T. F., Hauert, R., Drouilly, C., Curulla-Ferré, D. & Pérez-Ramírez, J. (2016). Indium oxide as a superior catalyst for methanol synthesis by CO<sub>2</sub> hydrogenation. *Angewandte Chemie*, 128(21), 6369-6373. https://doi.org/10.1002/ange.201600943.

[76]. Wang, W., Wang, S., Ma, X., & Gong, J. (2011). Recent advances in catalytic hydrogenation of carbon dioxide. *Chemical Society Reviews*, 40(7), 3703-3727. doi.org/10.1039/C1CS15008A.



# Harnessing Renewable Carbon Dioxide and Hydrogen: A Path to Sustainable Methanol Production

Parisa Akbarian<sup>1</sup>, Maryam Ranjbar<sup>\*1</sup>, Mehdi Khairmand<sup>2</sup>, Niloufar Naseri Jahromi<sup>1</sup>, Arya Abdollahi<sup>3</sup>

1. Iranian Research Organization for Science and Technology (CIROST), Tehran, Iran

2. Department of Chemistry, College of Sciences, Yasouj University, Yasouj, Iran

3. Department of Chemical Technologies, Islamic Azad University, Science and Research Branch, Tehran Iran

marandjbar@irost.ir

DOI: 10.22078/pr.2025.5642.3501

Received: March 07, 2025

Accepted: May 10, 2025

## Introduction

Because of its potential to lower greenhouse gas emissions, using carbon dioxide (CO<sub>2</sub>) as a raw material for fuel and chemical production has attracted much research attention [1]. The goal of carbon capture and utilization (CCU) is to turn waste CO<sub>2</sub> into practical, cost-effective inputs for various processes, either directly or by conversion into other products. In addition to adding value, this approach can accelerate the shift to a low-carbon economy [2]. For example, large-scale Carbon Capture, Utilization, and Storage (CCUS) operations may receive additional revenue from selling CO<sub>2</sub>-derived goods [3]. The increasing need to reduce CO<sub>2</sub> emissions has prompted governments and researchers to develop effective methods for capturing and utilizing CO<sub>2</sub>. Notably, China contributes to 30% of global greenhouse gas emissions, a substantial percentage compared to other nations [4]. CO<sub>2</sub>-Fischer-Tropsch (FT) synthesis and hydrogenation processes are the main methods to convert CO<sub>2</sub> into useful compounds [5,6]. These procedures provide an eco-friendly choice for the long-term use of CCU technologies, which use H<sub>2</sub> as a reactant [7]. Notwithstanding this potential, several obstacles need to be addressed, such as the price of CO<sub>2</sub> collection, the costs of producing hydrogen, the carbon emissions connected to hydrogen generation, and the requirement for more technological development and scalability of these conversion processes [8]. Transforming CO<sub>2</sub> into useful products requires significant energy input and involves intricate reactions due to CO<sub>2</sub>'s inherent stability. Feasibility studies of these conversion processes frequently

assume that CO<sub>2</sub> is obtained from the combustion of fossil fuels, such as power plants and energy-intensive sectors, and that H<sub>2</sub> is generated by water electrolysis utilizing renewable energy sources, resulting in zero direct emissions [9,10]. These studies, however, usually ignore the sources of H<sub>2</sub> and CO<sub>2</sub> and restrict their focus to the conversion process itself. Although this method helps assess the conversion's viability, it is essential to take into consideration variables like the quantity, price, carbon footprint, and dependability of these sources of raw materials, all of which can differ significantly depending on where they come from. There is great potential for efficiently processing vast amounts of CO<sub>2</sub> straight from the air through the catalytic conversion of CO<sub>2</sub> into valuable compounds such as methanol (CH<sub>3</sub>OH), formic acid (HCOOH), and methane (CH<sub>4</sub>) [11,12]. However, there are several difficulties in turning CO<sub>2</sub> into CH<sub>3</sub>OH. It needs temperatures between 230 and 300°C, highly pressures between 50 and 100 bar, and three times as much H<sub>2</sub> as CO<sub>2</sub> (3:1 molar ratio). The chemically inert CO bonds of CO<sub>2</sub>, which have a dissociation energy of about 750 kJ/mol, are activated and broken down to start the conversion of CO<sub>2</sub> into CH<sub>3</sub>OH during the process, at the same time H<sub>2</sub> molecules dissociate to form hydrogen adatoms (H adatoms) [13–15]. H<sub>2</sub> must also be produced cheaply for the process to be competitive in the market. Currently, hydrogen is primarily obtained from coal gasification, partial oxidation of methane, and steam reforming of fossil fuels, all of which contribute to pollution and high operating costs [16]. Combining CO<sub>2</sub> conversion with water splitting

through photosynthesis in mild environments is a cost-effective alternative, as H<sub>2</sub>O supplies protons (H<sup>+</sup>) and Hadatoms, which improve the conversion of CO<sub>2</sub> to CH<sub>3</sub>OH [17].

### Materials and Methods

In this research work, a hydrogen generator was used to produce hydrogen. The SPH-300 hydrogen generator, with a production capacity of 200 mL/min, an output pressure between 4 to 6 bar, hydrogen purity of 99.99%, and a power supply of 220 ±15% volts, 50–60 Hz, was utilized. For supplying carbon dioxide gas, a CO<sub>2</sub> gas cylinder with a purity of 99.999% (grade 4.5 or 5), a volume of 5 liters, a charging pressure up to 70 bar, and made of aluminum, was used. A shaped Cu/Zn/Al<sub>2</sub>O<sub>3</sub> catalyst, produced by the Petrochemical Research and Technology Company, was employed. A 750 mL high-pressure reactor from Büchi, Germany, was used. The catalyst was placed inside a stainless steel mesh specifically designed for this purpose and inserted into the reactor. A gas chromatograph made by Tayf Goštar Company was used to identify the outlet gases.

Methanol formation began after 30 minutes of reaction between 0.009 mol or 9 mmol/min of hydrogen gas (with a flow rate of 200 mL/min) and 0.003 mol or 3 mmol/min of carbon dioxide gas (67 mL/min) inside the high-pressure reactor at 50 bar and a temperature of 250°C. A yield of 13 mL of methanol per minute was obtained. Prior to use, the catalyst was also reduced by hydrogen. The outlet gases were identified using gas chromatography. The main product among the outlet gases was methanol, while the amounts of carbon monoxide and methane were very low and negligible.

### Results and Discussion

Methanol synthesis through CO<sub>2</sub> hydrogenation involves reacting CO<sub>2</sub> and H<sub>2</sub> under high-pressure conditions using Cu/Zn/Al<sub>2</sub>O<sub>3</sub> catalysts. The reaction mechanism follows:  $\text{CO}_2 + 3\text{H}_2 \rightarrow \text{CH}_3\text{OH} + \text{H}_2\text{O}$ . Key findings indicate that high-pressure synthesis conditions enhance methanol yield and reactor efficiency. Furthermore, hydrogen availability and catalyst stability remain significant challenges. Moreover, the conversion efficiency reaches 20%, while methanol production efficiency stands at 70%. In addition, the most sustainable sources of CO<sub>2</sub> are derived from methane reforming, steel production, and ethylene oxide processing, while hydrogen sourced from solar or wind-powered electrolysis and industrial by-product streams offers a cost-effective alternative. Also, experimental conditions for methanol production were carefully optimized, utilizing high-purity hydrogen generators and CO<sub>2</sub> cylinders, a Cu/Zn/Al<sub>2</sub>O<sub>3</sub> catalyst, and a pressurized reactor equipped for methanol synthesis. Moreover, reaction parameters included a temperature of 250°C, pressure of 50

bar, and a reaction time of 30 minutes. Furthermore, methanol yield reached 13 ml per minute, with negligible formation of CO and CH<sub>4</sub> by-products. In addition, analysis confirms that high-pressure reaction conditions significantly improve methanol yield. Also, gas chromatography verified that methanol was the primary product, while by-products such as CO and CH<sub>4</sub> were minimal. In addition, the study further highlights that industrial CO<sub>2</sub> sources provide greater sustainability compared to direct air capture methods. Furthermore, hydrogen produced through electrolysis remains costly, yet solar energy integration presents a feasible long-term solution. Membrane-based CO<sub>2</sub> separation technologies demonstrate promising potential for future scalability.

### Conclusions

In conclusion, CO<sub>2</sub> hydrogenation presents a promising and sustainable approach to methanol production, effectively transforming captured industrial CO<sub>2</sub> and renewable hydrogen sources into valuable chemical feedstock. This process not only mitigates greenhouse gas emissions but also contributes to the global transition toward cleaner energy alternatives. By repurposing CO<sub>2</sub> from industrial processes and pairing it with hydrogen generated through renewable methods such as electrolysis powered by solar and wind energy, methanol synthesis becomes a viable pathway for reducing reliance on fossil fuels. The continued advancement of catalyst design, particularly in enhancing selectivity, stability, and conversion efficiency, remains a critical area of research to improve the feasibility of CO<sub>2</sub> hydrogenation. Innovations in CO<sub>2</sub> capture technologies, including membrane-based separation, adsorption techniques, and chemical absorption, will play an integral role in making this process more economically competitive and scalable. Furthermore, integrating hydrogen production with low-carbon energy sources is essential for increasing the sustainability of methanol synthesis. Green methanol serves not only as a fundamental feedstock in the chemical industry but also as a versatile energy carrier, offering potential applications in fuel cell technologies, sustainable transportation, and hydrogen storage. As industries and governments worldwide aim to achieve carbon neutrality, the demand for green methanol is expected to rise, necessitating more efficient production methods and robust supply chains. Future research should prioritize refining reaction conditions to maximize yield and minimize by-product formation, reducing operational costs, and enhancing reactor design to accommodate large-scale production. Additionally, exploring synergistic technologies—such as direct air capture for CO<sub>2</sub> sourcing and advanced electrolysis methods for hydrogen generation—will further solidify the role of green methanol in the global energy transition. Ultimately, by addressing

these challenges, CO<sub>2</sub> hydrogenation can emerge as a cornerstone of sustainable fuel and chemical manufacturing, paving the way toward a cleaner and more resource-efficient future.

## References

1. Alper, E., & Orhan, O. Y. (2017). CO<sub>2</sub> utilization: Developments in conversion processes. *Petroleum*, 3(1), 109-126. doi.org/10.1016/j.petlm.2016.11.003.
2. Greig, C., & Uden, S. (2021). The value of CCUS in transitions to net-zero emissions. *The Electricity Journal*, 34(7), 107004. doi.org/10.1016/j.tej.2021.107004.
3. Niu, J., Liu, H., Jin, Y., Fan, B., Qi, W., & Ran, J. (2022). Comprehensive review of Cu-based CO<sub>2</sub> hydrogenation to CH<sub>3</sub>OH: Insights from experimental work and theoretical analysis. *International Journal of Hydrogen Energy*, 47(15), 9183-9200. doi.org/10.1016/j.ijhydene.2022.01.021.
4. Ye, R. P., Ding, J., Gong, W., Argyle, M. D., Zhong, Q., Wang, Y., Russell, C.K., Xu, Z., Russell, A.G., Li, Q. & Yao, Y. G. (2019). CO<sub>2</sub> hydrogenation to high-value products via heterogeneous catalysis. *Nature communications*, 10(1), 5698. doi.org/10.1038/s41467-019-13638-9.
5. Saeidi, S., Najari, S., Fazlollahi, F., Nikoo, M. K., Sefidkon, F., Klemeš, J. J., & Baxter, L. L. (2017). Mechanisms and kinetics of CO<sub>2</sub> hydrogenation to value-added products: A detailed review on current status and future trends. *Renewable and Sustainable Energy Reviews*, 80, 1292-1311. doi.org/10.1016/j.rser.2017.05.204.
6. Wang, H., Liu, Y., Laaksonen, A., Krook-Riekkola, A., Yang, Z., Lu, X., & Ji, X. (2020). Carbon recycling—An immense resource and key to a smart climate engineering: A survey of technologies, cost and impurity impact. *Renewable and Sustainable Energy Reviews*, 131, 110010. doi.org/10.1016/j.rser.2020.110010.
7. Saravanan, A., Vo, D. V. N., Jeevanantham, S., Bhuvaneshwari, V., Narayanan, V. A., Yaashikaa, P. R., Swetha, S. & Reshma, B. (2021). A comprehensive review on different approaches for CO<sub>2</sub> utilization and conversion pathways. *Chemical Engineering Science*, 236, 116515. https://doi.org/10.1016/j.ces.2021.116515.
8. Atsonios, K., Panopoulos, K. D., & Kakaras, E. (2016). Investigation of technical and economic aspects for methanol production through CO<sub>2</sub> hydrogenation. *International Journal of hydrogen energy*, 41(4), 2202-2214. doi.org/10.1016/j.ijhydene.2015.12.074.
9. Acar, C., & Dincer, I. (2019). Review and evaluation of hydrogen production options for better environment. *Journal of cleaner production*, 218, 835-849. doi.org/10.1016/j.jclepro.2019.02.046.
10. Meunier, N., Chauvy, R., Mouhoubi, S., Thomas, D., & De Weireld, G. (2020). Alternative production of methanol from industrial CO<sub>2</sub>. *Renewable energy*, 146, 1192-1203. doi.org/10.1016/j.renene.2019.07.010.
11. Moret, S., Dyson, P. J., & Laurenczy, G. (2014). Direct synthesis of formic acid from carbon dioxide by hydrogenation in acidic media. *Nature communications*, 5(1), 4017. doi.org/10.1038/ncomms5017.
12. Okoye-Chine, C. G., Otun, K., Shiba, N., Rashama, C., Ugwu, S. N., Onyeaka, H., & Okeke, C. T. (2022). Conversion of carbon dioxide into fuels—A review. *Journal of CO<sub>2</sub> Utilization*, 62, 102099. doi.org/10.1016/j.jcou.2022.102099.
13. Al-Rowaili, F. N., Zahid, U., Onaizi, S., Khaled, M., Jamal, A., & AL-Mutairi, E. M. (2021). A review for Metal-Organic Frameworks (MOFs) utilization in capture and conversion of carbon dioxide into valuable products. *Journal of CO<sub>2</sub> Utilization*, 53, 101715. doi.org/10.1016/j.jcou.2021.101715.
14. Xie, S., Wang, Y., Zhang, Q., Deng, W., & Wang, Y. (2014). MgO-and Pt-promoted TiO<sub>2</sub> as an efficient photocatalyst for the preferential reduction of carbon dioxide in the presence of water. *Acs Catalysis*, 4(10), 3644-3653. doi.org/10.1021/cs500648p.
15. Tsiotsias, A. I., Charisiou, N. D., AlKhoori, A., Gaber, S., Sebastian, V., Hinder, S. J., Baker, M.A., Polychronopoulou, K. & Goula, M. A. (2022). Towards maximizing conversion of ethane and carbon dioxide into synthesis gas using highly stable Ni-perovskite catalysts. *Journal of CO<sub>2</sub> utilization*, 61, 102046. https://doi.org/10.1016/j.jcou.2022.102046.
16. Fu, Z., Yang, Q., Liu, Z., Chen, F., Yao, F., Xie, T., Zhong, Y., Wang, D., Li, J., Li, X. & Zeng, G. (2019). Photocatalytic conversion of carbon dioxide: From products to design the catalysts. *Journal of CO<sub>2</sub> Utilization*, 34, 63-73. doi.org/10.1016/j.jcou.2019.05.032.